

Réseaux de neurones  
IFT 780

Réseaux à convolution avancés et architectures convolutives modernes

Par  
Pierre-Marc Jodoin

1

---

---

---

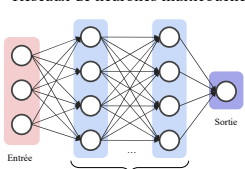
---

---

---

## Réseaux de neurones à convolution

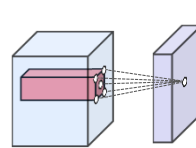
Réseaux de neurones multicouches



Entrée      ...      Couche cachée      Sortie

Beaucoup de paramètres  
Moins de neurones

CNN



- Paramètres partagés
- Connectivité locale

Moins de paramètres  
Beaucoup de neurones  
Architectures plus profondes

2

---

---

---

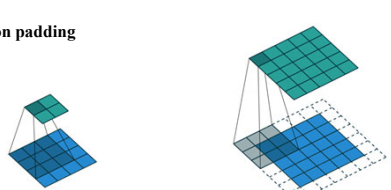
---

---

---

## Réseaux de neurones à convolution

### Convolution padding



Pas de padding  
Stride = 1  
Filtre 3x3

Zero padding  
Stride = 1  
Filtre 3x3

Carte d'activation plus petite que le signal d'entrée

Carte d'activation de même taille que le signal d'entrée

Images: <http://deeplearning.net/software/theano/tutorial>

3

---

---

---

---

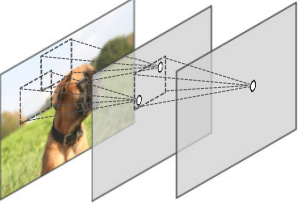
---

---

3

## Réseaux de neurones à convolution

Champ récepteur d'un neurone ("receptive field")



Région dans l'image d'entrée à l'intérieur de laquelle une variation pourrait avoir un effet sur la sortie d'un neurone.

Plus un neurone a un champ récepteur large, plus ce dernier encode du contexte.

4

4

---

---

---

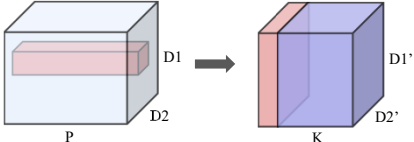
---

---

---

## Réseaux de neurones à convolution

Taille et convolution



- La **profondeur** du filtre = le **nombre de canaux** en entrée (ici P)
- Le **nombre de cartes d'activation** = le **nombre de filtres** (ici K)
- Filtre convolutif 1D est un tenseur 2D ( $F \times P$ )
- Filtre convolutif 2D est un tenseur 3D ( $F_1 \times F_2 \times P$ )
- K filtres convolutifs 2D est un tenseur 4D ( $K \times F_1 \times F_2 \times P$ )

5

---

---

---

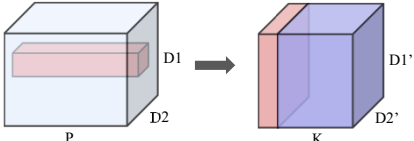
---

---

---

## Réseaux de neurones à convolution

Taille et convolution



Taille du volume d'activation (2D) :

$D1' = (D1 - F1)/S + 1$

$D2' = (D2 - F2)/S + 1$

**K = nb\_filtres**

6

---

---

---

---

---

---

## Réseaux de neurones à convolution

Chaque couche convective contient une fonction d'activation

S'assure que tous les neurons sont activés

<b>Sigmoid</b> $\sigma(x) = \frac{1}{1+e^{-x}}$	<b>Leaky ReLU</b> $\max(0.1x, x)$
<b>tanh</b> $\tanh(x)$	<b>Maxout</b> $\max(w_1^T x + b_1, w_2^T x + b_2)$
<b>ReLU</b> $\max(0, x)$	<b>ELU</b> $\begin{cases} x & x \geq 0 \\ \alpha(e^x - 1) & x < 0 \end{cases}$

Réduit le problème de la disparition du gradient

7

7

## Réseaux de neurones à convolution

**Pooling**

<b>Max Pooling</b> <table border="1"> <tr><td>29</td><td>15</td><td>28</td><td>184</td></tr> <tr><td>0</td><td>100</td><td>70</td><td>38</td></tr> <tr><td>12</td><td>12</td><td>7</td><td>2</td></tr> <tr><td>12</td><td>12</td><td>45</td><td>6</td></tr> </table>	29	15	28	184	0	100	70	38	12	12	7	2	12	12	45	6	<b>Average Pooling</b> <table border="1"> <tr><td>31</td><td>15</td><td>28</td><td>184</td></tr> <tr><td>0</td><td>100</td><td>70</td><td>38</td></tr> <tr><td>12</td><td>12</td><td>7</td><td>2</td></tr> <tr><td>12</td><td>12</td><td>45</td><td>6</td></tr> </table>	31	15	28	184	0	100	70	38	12	12	7	2	12	12	45	6
29	15	28	184																														
0	100	70	38																														
12	12	7	2																														
12	12	45	6																														
31	15	28	184																														
0	100	70	38																														
12	12	7	2																														
12	12	45	6																														
$2 \times 2$ pool size (stride = 2)	$2 \times 2$ pool size (stride = 2)																																
<table border="1"> <tr><td>100</td><td>184</td></tr> <tr><td>12</td><td>45</td></tr> </table>	100	184	12	45	<table border="1"> <tr><td>36</td><td>80</td></tr> <tr><td>12</td><td>15</td></tr> </table>	36	80	12	15																								
100	184																																
12	45																																
36	80																																
12	15																																

**BUT**

- Réduire la **résolution** des cartes d'activation
- Moins de **mémoire** et de **calculs**
- Augmente un peu la **robustess** à la rotation et au changement d'échelle

L'opération de **pooling** est généralement faite indépendamment sur chaque carte d'activation.

Images: <https://pythonmachinelearning.pro/introduction-to-convolutional-neural-networks-for-vision-tasks/>

8

8

## Réseaux de neurones à convolution

CNN = suite d'opérations convolutives (et autres, *FC* = *fully connected*)

The diagram illustrates a Convolutional Neural Network (CNN) architecture. It starts with an input image of a white car. This image is processed through several layers of operations: CONV (Convolution), RELU (Rectified Linear Unit), CONV, POOL (Pooling), RELU, CONV, POOL, RELU, CONV, POOL, and finally FC (Fully Connected). The output of the network is a classification result showing the car, truck, airplane, ship, and horse.

Image: <http://cs231n.github.io>

9

9

## Autres types de couches convolutives

<https://towardsdatascience.com/a-comprehensive-introduction-to-different-types-of-convolutions-in-deep-learning-669281e58215>

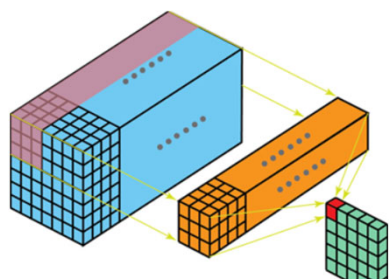
10

## Convolution **séparée**

11

## Convolution classique

Représentation classique d'une convolution 2D, ici un volume en entrée de taille **7x7xP** convolué par un **filtre 3x3xP** donne une **carte d'activation 5x5x1**

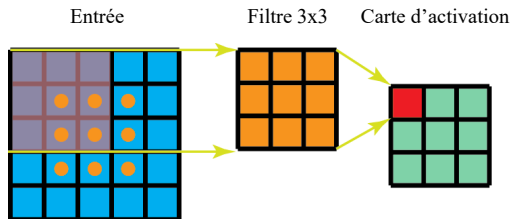


12

12

## Convolution classique

Comme on le sait, une convolution « *valid* » avec **1 canal** en entrée et un filtre 2D s'opère ainsi:



<https://towardsdatascience.com/a-comprehensive-introduction-to-different-types-of-convolutions-in-deep-learning-669281e58215> 13

13

## Convolution séparée

Les filtres 2D et 3D peuvent être **séparés** en filtres plus élémentaires

$$\begin{array}{c} \text{3 filtres 2D ayant 9 paramètres} \\ \xrightarrow{\quad} h = \begin{pmatrix} 1 & 1 & 1 \\ 1 & 1 & 1 \\ 1 & 1 & 1 \end{pmatrix} / 9 \\ \xrightarrow{\quad} h = \begin{pmatrix} 1 & 2 & 1 \\ 2 & 4 & 2 \\ 1 & 2 & 1 \end{pmatrix} / 16 \\ \xrightarrow{\quad} h = \begin{pmatrix} -1 & 0 & 1 \\ -1 & 0 & 1 \\ -1 & 0 & 1 \end{pmatrix} / 3 \end{array}$$

14

## Convolution séparée

Les filtres 2D et 3D peuvent être **séparés** en filtres plus élémentaires

$$\begin{array}{c} \text{3 filtres 2D ayant 9 paramètres} \\ \xrightarrow{\quad} h = \begin{pmatrix} 1 & 1 & 1 \\ 1 & 1 & 1 \\ 1 & 1 & 1 \end{pmatrix} / 9 \rightarrow h_x = (1 \ 1 \ 1) / 3, h_y = \begin{pmatrix} 1 \\ 1 \\ 1 \end{pmatrix} / 3 \\ \xrightarrow{\quad} h = \begin{pmatrix} 1 & 2 & 1 \\ 2 & 4 & 2 \\ 1 & 2 & 1 \end{pmatrix} / 16 \rightarrow h_x = (1 \ 2 \ 1) / 4, h_y = \begin{pmatrix} 1 \\ 2 \\ 1 \end{pmatrix} / 4 \\ \xrightarrow{\quad} h = \begin{pmatrix} -1 & 0 & 1 \\ -1 & 0 & 1 \\ -1 & 0 & 1 \end{pmatrix} / 3 \rightarrow h_x = (-1 \ 0 \ 1), h_y = \begin{pmatrix} 1 \\ 1 \\ 1 \end{pmatrix} / 3 \end{array}$$

Ces filtres 2D peuvent être décomposés en 2 filtres de **3 paramètres** pour un total de **6 paramètres**

15

## Convolution séparée

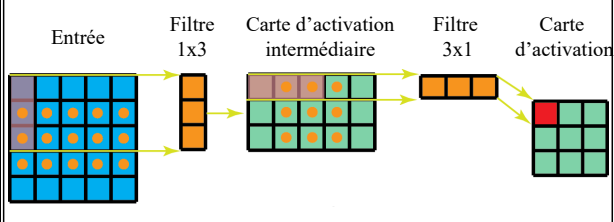
Les filtres 2D et 3D peuvent être **séparés** en filtres plus élémentaires

Bien que tous les filtres 2D (et 3D) ne soient pas tous mathématiquement séparables, on peut tout de même les **approximer** par des filtres 1D

$$\begin{pmatrix} a & b & c \\ d & e & f \\ g & h & i \end{pmatrix} \approx (k \quad l \quad m) * \begin{pmatrix} n \\ o \\ p \end{pmatrix}$$

16

## Convolution séparée



<https://towardsdatascience.com/a-comprehensive-introduction-to-different-types-of-convolutions-in-deep-learning-669281c58215> 17

17

## Convolution séparée

### Réduction du nombre de paramètres

	3x3 : 9 param	+	= 6 param
	5x5 : 25 param	+	= 10 param
	7x7 : 49 param	+	= 14 param

18

18

## Convolution séparable en profondeur (Depthwise Separable Convolution)

19

---

---

---

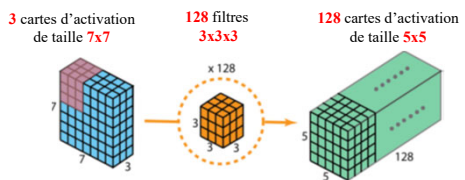
---

---

---

19

## Convolution usuelle



$$3 \times 3 \times 3 \times 128 = \textcolor{red}{3456 \text{ params}}$$

20

---

---

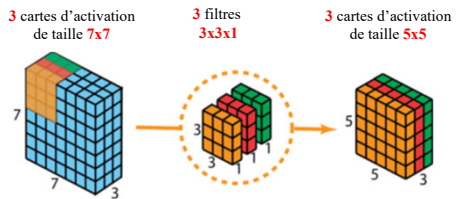
---

---

---

---

## depth-wise convolution



21

---

---

---

---

---

---

## Depthwise Separable Convolution

*Depth-wise convolution + conv 1x1*

3 cartes d'activation de taille 7x7    3 filtres 3x3x1    3 cartes d'activation de taille 5x5    1 filtre 1x1x3    1 carte d'activation de taille 5x5

22  
<https://www.datascience.com/a-comprehensive-introduction-to-different-types-of-convolutions-in-deep-learning-660281-58215>

22

---

---

---

---

---

---

---

---

---

## Depthwise Separable Convolution

*Depth-wise convolution + conv 1x1*

3 cartes d'activation de taille 7x7    3 filtres 3x3x1    3 cartes d'activation de taille 5x5    128 filtres 1x1x3    128 cartes d'activation de taille 5x5

3x3x3+3x128 = **411 params**  
23  
<https://www.datascience.com/a-comprehensive-introduction-to-different-types-of-convolutions-in-deep-learning-660281-58215>

23

---

---

---

---

---

---

---

---

---

## Depthwise Separable Convolution

*Depth-wise convolution + conv 1x1*

3 cartes d'activation de taille 7x7    1 filtre 3x1x1    1 filtre 1x3x1    1 filtre 1x1x3    1 carte d'activation de taille 5x5

24  
<https://www.datascience.com/a-comprehensive-introduction-to-different-types-of-convolutions-in-deep-learning-660281-58215>

24

---

---

---

---

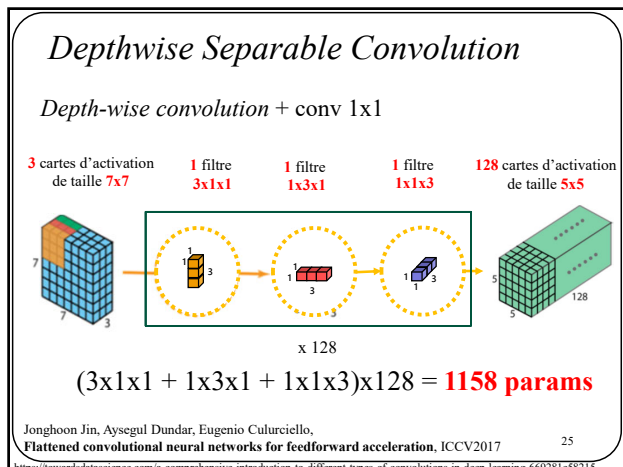
---

---

---

---

---



25

---



---



---



---



---



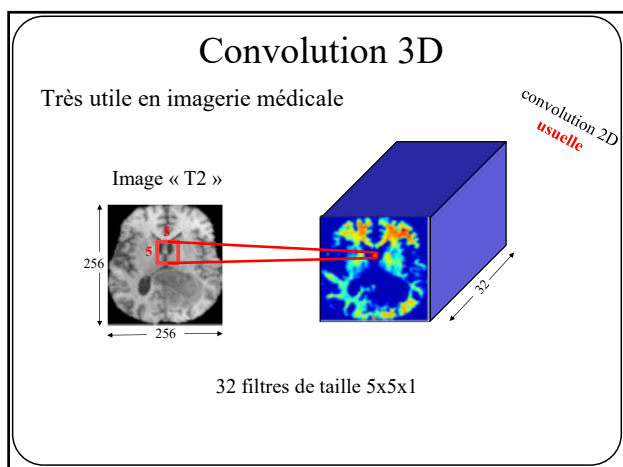
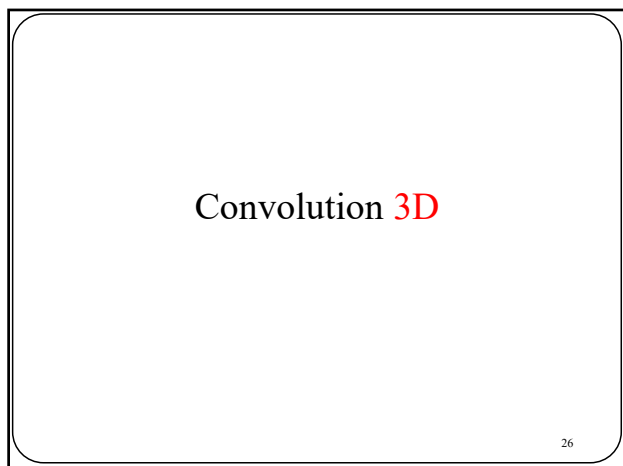
---



---



---



27

---



---



---



---



---



---



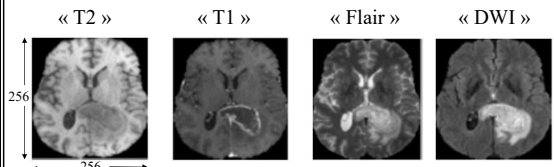
---



---

## Convolution 3D

Souvent en imagerie médicale on utilise plusieurs « modalités »



28

---

---

---

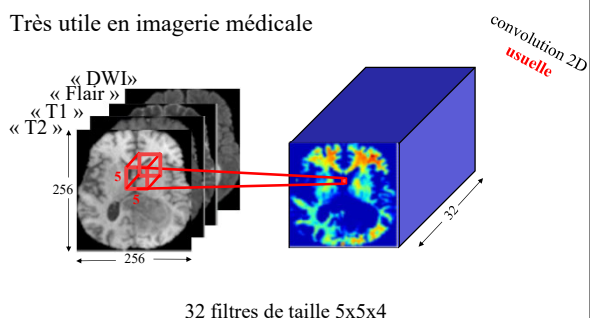
---

---

---

## Convolution 3D

Très utile en imagerie médicale



29

---

---

---

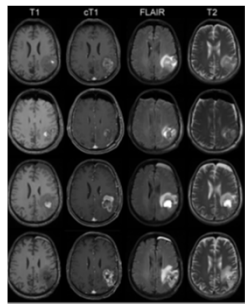
---

---

---

## Convolution 3D

Souvent en imagerie médicale on utilise plusieurs « modalités » **et des acquisitions en 3D** (ici un cerveau au complet)



30

---

---

---

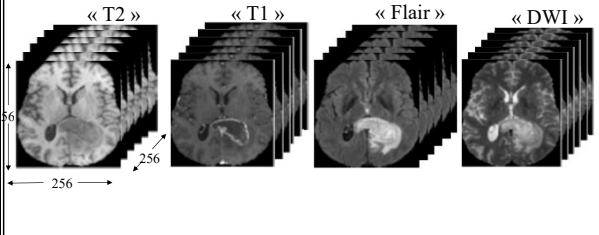
---

---

---

## Convolution 3D

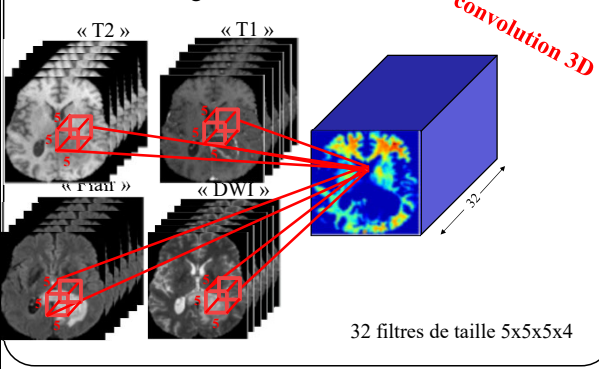
Souvent en imagerie médicale on utilise plusieurs « modalités » **et des acquisitions en 3D**



31

## Convolution 3D

Très utile en imagerie médicale

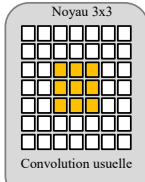


32

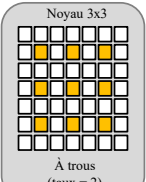
## Convolution *à trous*

33

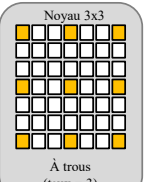
## Convolution à trous (ou dilatée)



Convolution usuelle



À trous  
(taux = 2)



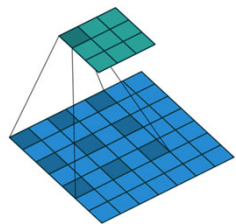
À trous  
(taux = 3)

Champ récepteur=3x3   Champ récepteur=5x5   Champ récepteur=7x7

34

34

## Convolution à trous (ou dilatée)



- Augmentation “artificielle” de la taille du filtre en insérant des zéros entre les éléments non-nuls du noyau
- 1 hyper-paramètre *taux* (*taux* = 1 convolution ordinaire)

Images: <http://deeplearning.net/software/theano/tutorial>

35

35

## Autres pratiques courantes

36

---

---

---

---

---

---

---

---

---

---

---

---

---

---

---

---

---

---

---

---

## Prétraitement des données en entrée

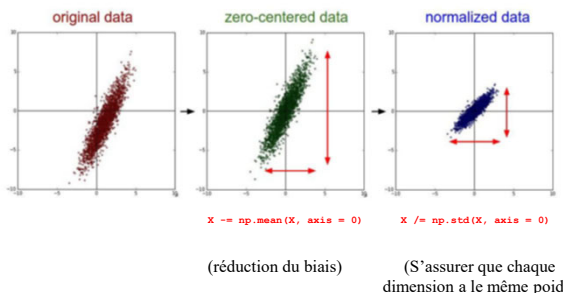
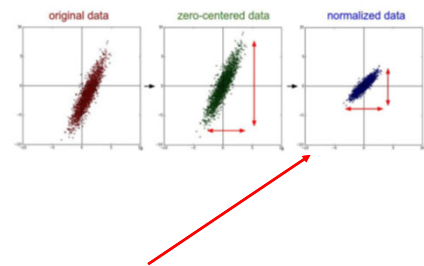


Image: <http://cs231n.github.io>

37

## Prétraitement des données en entrée

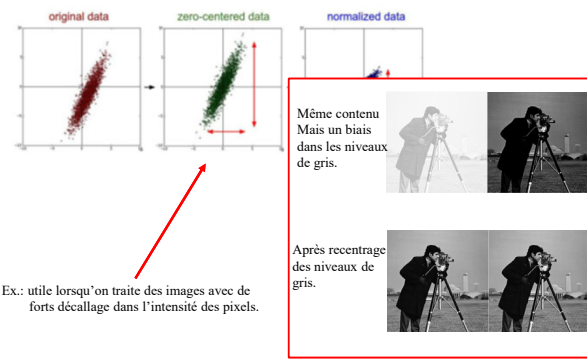


S'assurer que les dimensions ont les mêmes variances.

Exemple: âge maison (1 à 100) vs prix maison (100,000 à 2,000,000).

38

## Prétraitement des données en entrée



39

## Prétraitement des données en entrée

Pour des images RGB (ex. CIFAR10, CIFAR100, ImageNet, etc)

- Soustraire l'image moyenne des données d'entraînement (e.g AlexNet)
  - Soustrait une image 32x32x3 pour CIFAR10

$$x_{MOY} = \frac{1}{N} \sum_{i=1}^N x_i$$

40

40

---

---

---

---

---

---

---

## Prétraitement des données en entrée

Pour des images RGB (ex. CIFAR10, CIFAR100, ImageNet, etc)

- Soustraire l'image moyenne des N images d'entraînement (e.g AlexNet)
  - Soustrait une image moyenne 32x32x3 pour CIFAR10

$$x_{MOY} = \frac{1}{N} \sum_{i=1}^N x_i$$

- Soustraire une moyenne par canal (e.g. VGGNet)

- Soustrait **trois valeurs** : R, G, B

$$R = \frac{1}{N} \sum_{k=1}^N \sum_{i,j} x_k[i,j].R$$

$$G = \frac{1}{N} \sum_{k=1}^N \sum_{i,j} x_k[i,j].G$$

$$B = \frac{1}{N} \sum_{k=1}^N \sum_{i,j} x_k[i,j].B$$

41

41

---

---

---

---

---

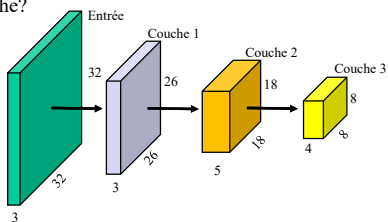
---

---

## Normalisation par lot (*Batch norm*)

**Observation** : Normaliser les données en entrée est une bonne chose.

**Question** : pourquoi ne pas normaliser les données à l'entrée de chaque couche?



42

Image: Ioffe et al., "Batch normalization: Accelerating deep network training by reducing internal covariate shift," arXiv, 2015.

42

---

---

---

---

---

---

---

[Ioffe and Szegedy, 2015]

## Normalisation par lot (*Batch norm*)

**Observation :** Normaliser les données en entrée est une bonne chose.

**Question :** pourquoi ne pas normaliser les données à l'entrée de chaque couche?

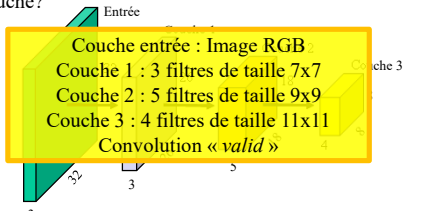


image: Ioffe et al. "Batch normalization: Accelerating deep network training by reducing internal covariate shift." arXiv, 2015.

43

---

---

---

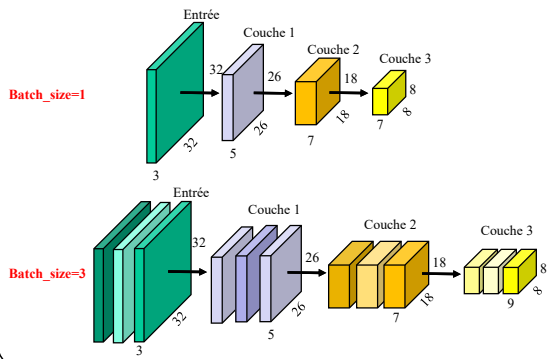
---

---

---

[Ioffe and Szegedy, 2015]

## Normalisation par lot (*Batch norm*)



---

---

---

---

---

---

44

[Ioffe and Szegedy, 2015]

## Normalisation par lot (*Batch norm*)

Ex. : normalisation de la couche 1

$x_3 \quad x_2 \quad x_1$   
 $x_i$  : les cartes d'activations du ième lot  
Contient  $26 \times 26 \times 3 = 3380$  neurones

$$x_{MOY} = \frac{1}{3} \sum_{i=1}^3 x_i$$
$$x_{VAR} = \frac{1}{3} \sum_{i=1}^3 (x_i - x_{MOY})^2$$

---

---

---

---

---

---

45

[Ioffe and Szegedy, 2015]

## Normalisation par lot (*Batch norm*)

**Ex. : normalisation de la couche 1**

$x_i$  : les cartes d'activations du  $i$ ème lot  
Contient  $26 \times 26 \times 5 = 3380$  neurones

$$x_{MOY} = \frac{1}{3} \sum_{i=1}^3 x_i \quad \rightarrow \text{Taille } 26 \times 26 \times 5$$

$$x_{VAR} = \frac{1}{3} \sum_{i=1}^3 (x_i - x_{MOY})^2 \quad \rightarrow \text{Taille } 26 \times 26 \times 5$$

$$\hat{x}_i = \frac{x_i - x_{MOY}}{\sqrt{x_{VAR} + \epsilon}} \quad \rightarrow \text{Taille } 26 \times 26 \times 5$$

46

[Ioffe and Szegedy, 2015]

## Normalisation par lot (*Batch norm*)

```
def batchnorm_forward_pass(x, eps):
    #step 1 : calculer la moyenne et la variance
    mu = np.mean(x, axis=0)
    var = np.var(x, axis=0)

    #step 2 : normaliser les données
    x_norm = (x - mu)/np.sqrt(var + eps)

    return x_norm
```

**Question:** est-ce pertinent de normaliser tous les neurones de toutes les couches? **Pas toujours!**

47

[Ioffe and Szegedy, 2015]

## Normalisation par lot (*Batch norm*)

**Solution:** permettre au réseau **d'apprendre à défaire** la normalisation par lot

$$x_{MOY} = \frac{1}{3} \sum_{i=1}^3 x_i$$

$$x_{VAR} = \frac{1}{3} \sum_{i=1}^3 (x_i - x_{MOY})^2$$

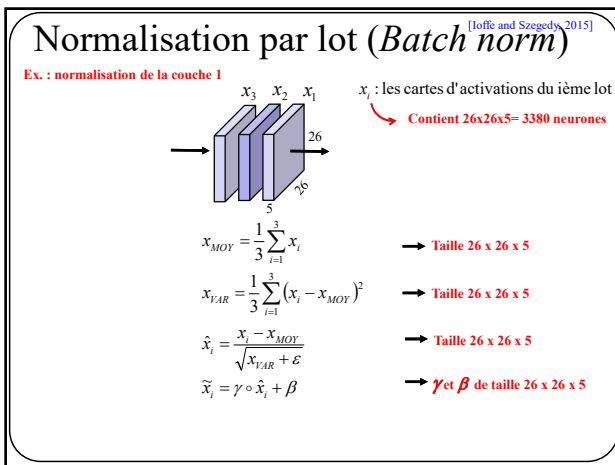
$$\hat{x}_i = \frac{x_i - x_{MOY}}{\sqrt{x_{VAR} + \epsilon}}$$

$$\tilde{x}_i = \gamma \circ \hat{x}_i + \beta$$

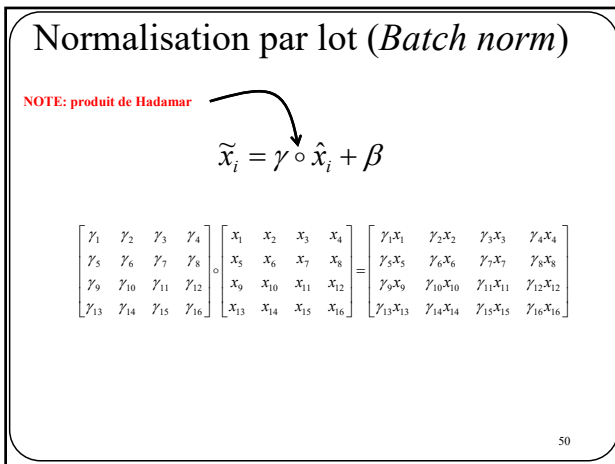
**Paramètres appris par le système.** Ainsi, le réseau peut apprendre que  $\gamma = \sqrt{x_{VAR}}$  et  $\beta = x_{MOY}$  et ainsi annuler la normalisation au besoin.

48

48



49



50

Normalisation par lot (Batch norm) [Ioffe and Szegedy, 2015]

```
def batchnorm_forward_pass(x, gamma, beta, eps):
    #step 1 : calculer la moyenne et la variance
    mu = np.mean(x, axis=0)
    var = np.var(x, axis=0)

    #step 2 : normaliser les données
    x_norm = (x - mu)/np.sqrt(var + eps)

    #step 3 : "dénormaliser" les données
    x_norm = x_norm*gamma + beta

    return x_norm
```

51

---



---



---



---



---



---



---



---



---



---



---



---



---



---



---



---



---



---



---



---



---



---



---



---



---



---



---



---



---



---



---



---



---



---



---



---



---



---



---



---



---

[Ioffe and Szegedy, 2015]

## Normalisation par lot (*Batch norm*)

Généralement insérée entre la convolution (ou la couche pleinement connectée) et la non-linéarité.

52

52

## Normalisation par lot (*Batch norm*)

**Avantages:**

- Accélère l'entraînement**
- Permet d'utiliser un plus gros *Learning rate***

Image: Ioffe et al. "Batch normalization: Accelerating deep network training by reducing internal covariate shift," arXiv, 2015.

53

## Normalisation par lot (*Batch norm*)

**En généralisation**, lorsqu'on souhaite traiter une seule donnée (donc une taille de lot de 1), on remplace  $\bar{x}$  et  $s^2$  par des constantes précalculées

$$\hat{x}_i = \frac{x_i - \bar{x}_{MOY}}{\sqrt{s_{VAR} + \epsilon}}$$

c'est-à-dire

$$\bar{x}_{MOY} = \frac{1}{N} \sum_{i=1}^N x_i$$

$$s_{VAR} = \frac{1}{N} \sum_{i=1}^N (x_i - \bar{x}_{MOY})^2$$

Image: Ioffe et al. "Batch normalization: Accelerating deep network training by reducing internal covariate shift," arXiv, 2015.

54

## Normalisation par lot (*Batch norm*)

Pour plus d'information:

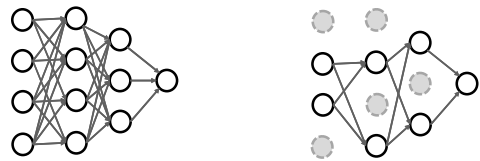
- <https://medium.com/@ilango100/batch-normalization-speed-up-neural-network-training-245e39a62f85>
- <https://deeptnotes.io/batchnorm>
- Image: Ioffe et al. "Batch normalization: Accelerating deep network training by reducing internal covariate shift." arXiv, 2015.

55

55

## Autre pratique courante : *Dropout*

Forcer à zéro certains neurones de façon aléatoire à chaque itération



Srivastava et al. "Dropout: a simple way to prevent neural networks from overfitting", JMLR 2014

56

## Autre bonne pratique : *Dropout*

```
p = 0.5 # probability of keeping a unit active. higher = less dropout

def train_step(X):
    """ X contains the data """

    # forward pass for example 3-layer neural network
    H1 = np.maximum(0, np.dot(W1, X) + b1)
    U1 = np.random.rand(*H1.shape) < p # first dropout mask
    H1 *= U1 # drop!
    H2 = np.maximum(0, np.dot(W2, H1) + b2)
    U2 = np.random.rand(*H2.shape) < p # second dropout mask
    H2 *= U2 # drop!
    out = np.dot(W3, H2) + b3

    # backward pass: compute gradients... (not shown)
    # perform parameter update... (not shown)
```

Crédit <http://cs231n.stanford.edu/>

57

---

---

---

---

---

---

---

---

---

---

---

---

---

---

---

---

---

---

---

---

---

---

---

---

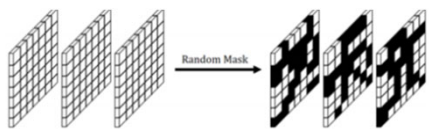
---

---

---

## Autre bonne pratique : *Dropout*

Dans le cas d'un réseau à convolution, dropout revient à appliquer un **masque binaire aléatoire** à chaque carte d'activation.

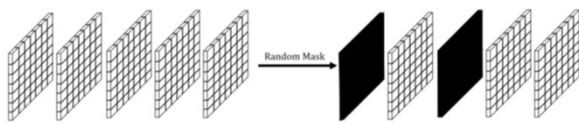


Jonathan Tompson, Ross Goroshin, Arjun Jain, Yann LeCun, Christoph Bregler  
"Efficient Object Localization Using Convolutional Networks", in proc of CVPR 2015

58

## *Spatial dropout*, une variante du *dropout*

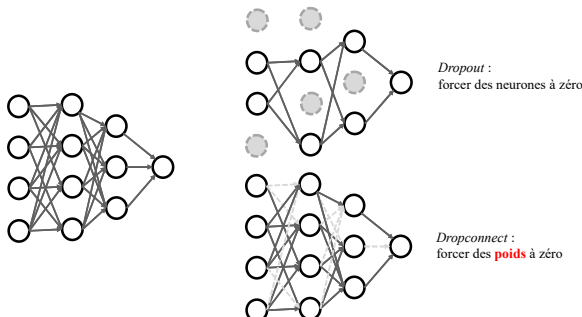
Au lieu de forcer à zéro des neurones,  
on peut forcer à zéro des **cartes d'activation**.



Jonathan Tompson, Ross Goroshin, Arjun Jain, Yann LeCun, Christoph Bregler  
"Efficient Object Localization Using Convolutional Networks", in proc of CVPR 2015

59

## *Drop connect*, autre variante de *dropout*



Li Wan, Matthew Zeiler, Sixin Zhang, Yann LeCun, Rob Fergus Regularization of Neural Networks using DropConnect, ICML 2013

60

---

---

---

---

---

---

---

---

---

---

---

---

---

---

---

---

---

---

---

---

---

## Drop connect, autre variante de dropout

Dans le cas d'une convolution

$$\begin{array}{|c|c|c|c|} \hline X0 & X1 & X2 & X3 \\ \hline X4 & X5 & X6 & X7 \\ \hline X8 & X9 & X10 & X11 \\ \hline X12 & X13 & X14 & X15 \\ \hline \end{array} * \begin{array}{|c|c|c|} \hline W0 & W1 & W2 \\ \hline W3 & W4 & W5 \\ \hline W6 & W7 & W8 \\ \hline \end{array} = \begin{array}{|c|c|} \hline Y0 & Y1 \\ \hline Y2 & Y3 \\ \hline \end{array}$$

Li Wan, Matthew Zeiler, Sixin Zhang, Yann LeCun, Rob Fergus Regularization of Neural Networks using DropConnect, ICML 2013

61

## Drop connect, autre variante de dropout

Dans le cas d'une convolution

Dropout force les **neurones** à zéro

$$\begin{array}{|c|c|c|c|} \hline X0 & \text{■} & X2 & X3 \\ \hline \text{■} & X5 & X6 & \text{■} \\ \hline X8 & X9 & \text{■} & X11 \\ \hline \text{■} & X13 & X14 & \text{■} \\ \hline \end{array} * \begin{array}{|c|c|c|} \hline W0 & W1 & W2 \\ \hline W3 & W4 & W5 \\ \hline W6 & W7 & W8 \\ \hline \end{array} = \begin{array}{|c|c|} \hline Y0 & Y1 \\ \hline Y2 & Y3 \\ \hline \end{array}$$

Li Wan, Matthew Zeiler, Sixin Zhang, Yann LeCun, Rob Fergus Regularization of Neural Networks using DropConnect, ICML 2013

62

## Drop connect, autre variante de dropout

Dans le cas d'une convolution

Dropconnect force les **paramètres** à zéro

$$\begin{array}{|c|c|c|c|} \hline X0 & X1 & X2 & X3 \\ \hline X4 & X5 & X6 & X7 \\ \hline X8 & X9 & X10 & X11 \\ \hline X12 & X13 & X14 & X15 \\ \hline \end{array} * \begin{array}{|c|c|c|} \hline \text{■} & W1 & W2 \\ \hline W3 & W4 & \text{■} \\ \hline \text{■} & \text{■} & W8 \\ \hline \end{array} = \begin{array}{|c|c|} \hline Y0 & Y1 \\ \hline Y2 & Y3 \\ \hline \end{array}$$

Li Wan, Matthew Zeiler, Sixin Zhang, Yann LeCun, Rob Fergus Regularization of Neural Networks using DropConnect, ICML 2013

63

## Ensemble de modèles

- 1- Entrainer independamment differents modeles
- 2- En generalisation, faire voter ces modeles

Permet d'améliorer les performances de 2-3%

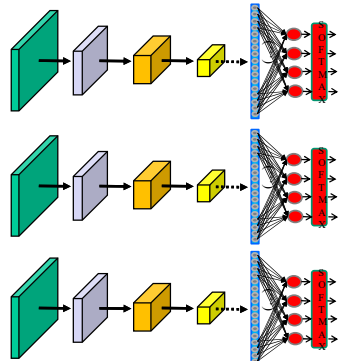
**NOTE** Même entraîner N-fois le même modèle fonctionne!

Li Wan, Matthew Zeiler, Sixin Zhang, Yann LeCun, Rob Fergus Regularization of Neural Networks using DropConnect, ICML 2013

64

## Ensemble de modèles

Entraîner plusieurs modèles (ou plusieurs fois le même modèle)

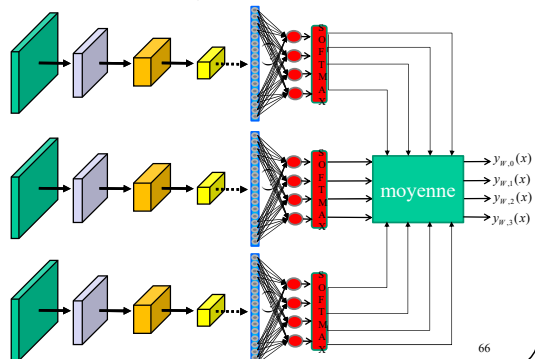


65

65

## Ensemble de modèles

Une fois les modèles entraînés, on combine leur sortie

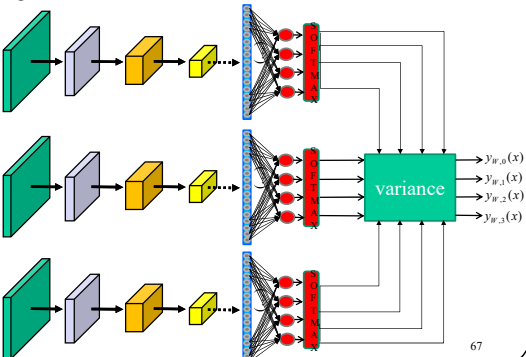


66

66

## Ensemble de modèles

On peut également calculer leur **incertitude** avec une variance

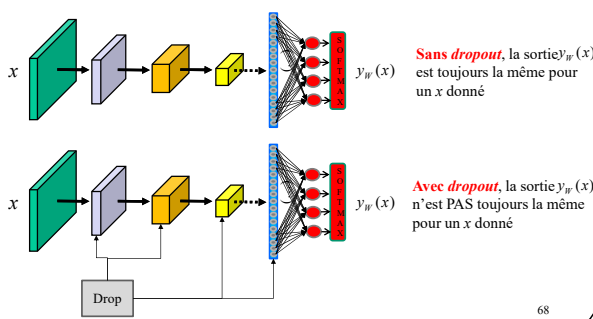


67

67

## Monte-Carlo Dropout (*MCDropout*)

Une façon simple de combiner plusieurs modèles et de calculer une incertitude est de mélanger la sortie d'un réseau avec différents masques de dropout.

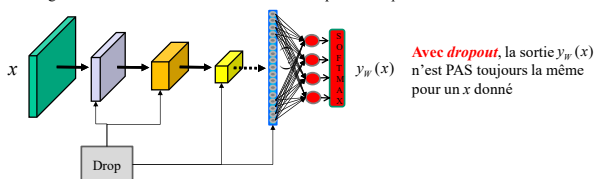


68

68

## Monte-Carlo Dropout (*MCDropout*)

Une façon simple de combiner plusieurs modèles et de calculer une incertitude est de mélanger la sortie d'un réseau avec différents masques de dropout.



Si on fait *M propagations avant* pour un *x* donné, on aura *M* résultats différents.

$$\hat{y}_w(x) = \frac{1}{M} \sum_{m=1}^M y_w^m(x) \quad \xrightarrow{\text{Prédictions moyennées}} \text{(ensemble de modèles)}$$

$$\hat{y}_w^{VAR}(x) = \frac{1}{M} \sum_{m=1}^M (y_w^m(x) - \hat{y}_w(x))^2 \quad \xrightarrow{\text{Incertitude}}$$

69

## Transfert d'apprentissage

(Transfer learning)

**Question** : il faut un très grand nombre de données annotées pour entraîner un réseaux de neurones profonds?

**Réponse** : **Faux**, si on dispose d'un modèle pré-entraîné sur une base de données similaire.

70

---

---

---

---

---

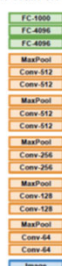
---

---

## Transfert d'apprentissage

(Transfer learning)

1. Train on Imagenet



Crédit : <http://cs231n.stanford.edu>

---

---

---

---

---

---

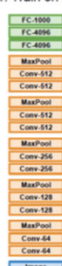
---

71

## Transfert d'apprentissage

(Transfer learning)

1. Train on Imagenet



2. Small Dataset (C classes)



Crédit : <http://cs231n.stanford.edu>

---

---

---

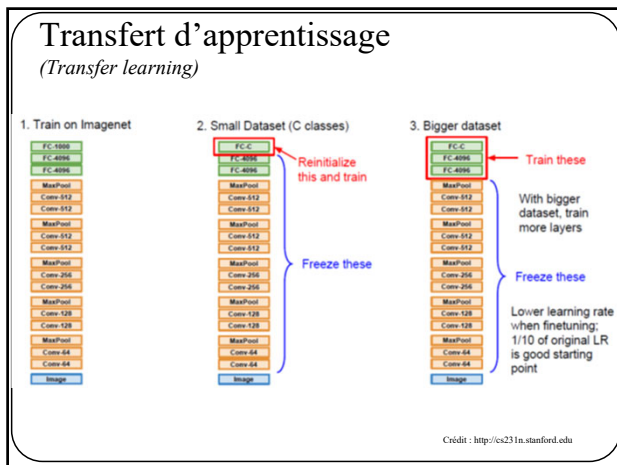
---

---

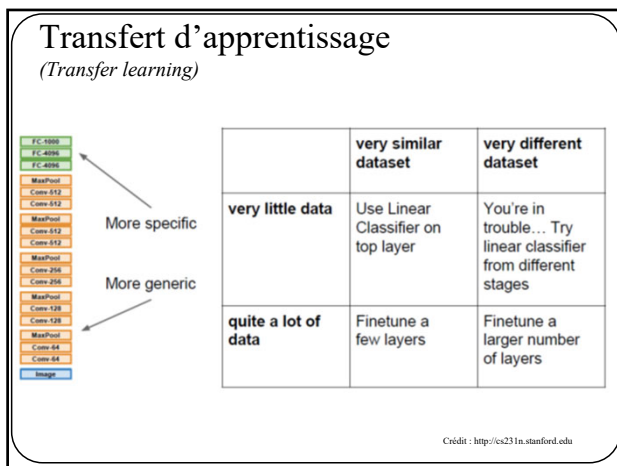
---

---

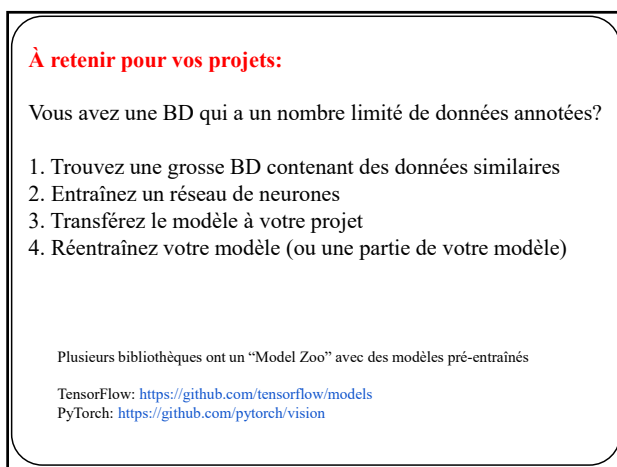
72



73



74

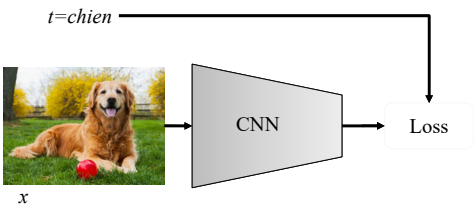


75

## Augmentation de données

(Data augmentation)

On peut artificiellement augmenter le nombre de données en transformant les données sans pour autant affecter leur cible.



76

---

---

---

---

---

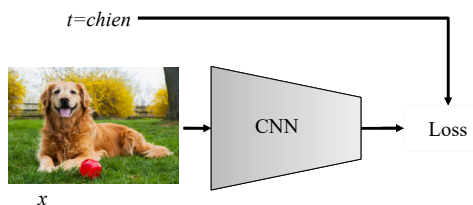
---

---

## Augmentation de données

(Data augmentation)

Exemple de transformation : **flip**



77

---

---

---

---

---

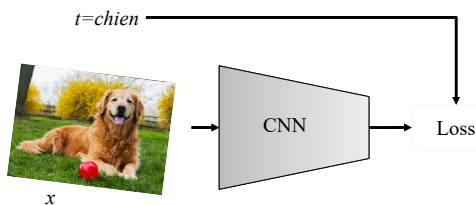
---

---

## Augmentation de données

(Data augmentation)

Exemple de transformation : **rotation aléatoire de +/- 5 degrés**



78

---

---

---

---

---

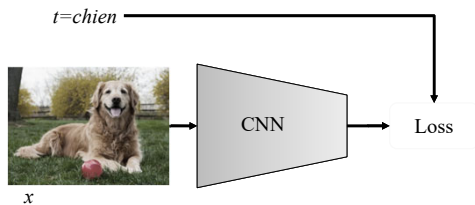
---

---

## Augmentation de données

(Data augmentation)

Exemple de transformation : **changement aléatoire de la dynamique des couleurs**



79

---

---

---

---

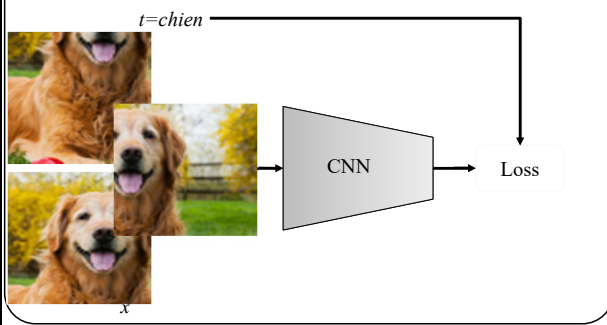
---

---

## Augmentation de données

(Data augmentation)

Exemple de transformation : **crop aléatoire + redimension**



80

---

---

---

---

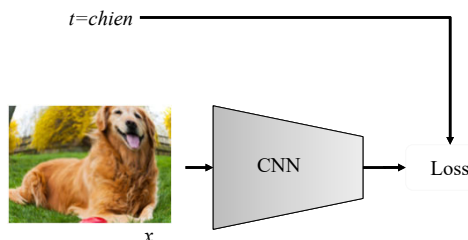
---

---

## Augmentation de données

(Data augmentation)

Exemple de transformation : **transformation de lentille**



81

---

---

---

---

---

---

L'augmentation de données n'est pas une exception

## c'est la norme

Il n'y a *a priori* aucune raison pour ne pas l'utiliser dans vos projets.

82

---

---

---

---

---

---

## CLASSIFICATION D'IMAGE

---

---

---

---

---

---

83

### Classification d'image



Chien: 85%
Chat: 10%
Cheval: 5%
Chaise: 0%

But: prédire une étiquette de classe (ou une distribution de probabilités) pour une image donnée.

84

---

---

---

---

---

---

84

## Classification d'image

Défi



Ce que l'humain voit

37	49	63	43	63	45	51	56	85	35
47	64	63	37	68	56	37	47	61	45
54	64	63	37	68	56	37	47	61	45
38	49	33	75	68	49	71	35	47	23
53	33	75	68	49	71	35	47	23	24
52	32	31	56	34	32	34	27	43	34
69	36	49	37	34	45	75	31	69	45
42	69	65	76	73	61	64	34	53	65
55	68	31	56	63	77	78	69	78	35
48	41	31	35	55	39	63	58	29	48
31	53	33	69	51	53	51	58	31	38
32	63	33	69	58	67	78	67	68	38
49	58	35	49	42	66	32	29	88	34
42	58	35	49	42	66	32	29	88	34
79	29	43	38	49	63	43	62	61	35

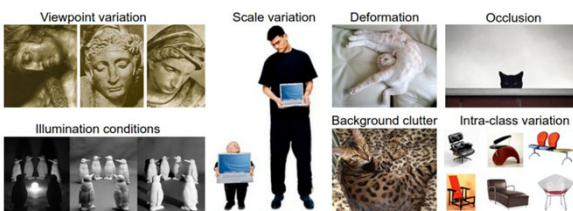
Ce que l'ordinateur voit

85

85

## Classification d'image

Autres défis



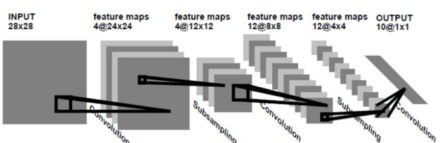
Facile pour les humains mais difficile pour les ordinateurs.

Image: <http://cs231n.github.io>

86

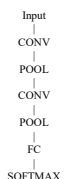
86

## LeNet-1



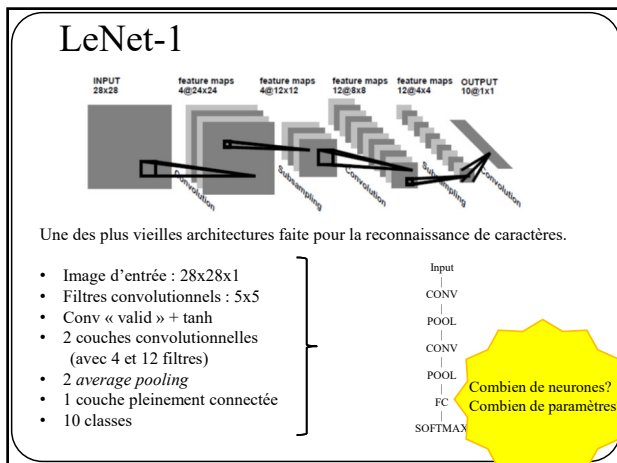
Une des plus vieilles architectures faite pour la reconnaissance de caractères.

- Image d'entrée : 28x28x1
- Filtres convolutionnels : 5x5
- Conv « valid » + tanh
- 2 couches convolutionnelles (avec 4 et 12 filtres)
- 2 average pooling
- 1 couche pleinement connectée
- 10 classes

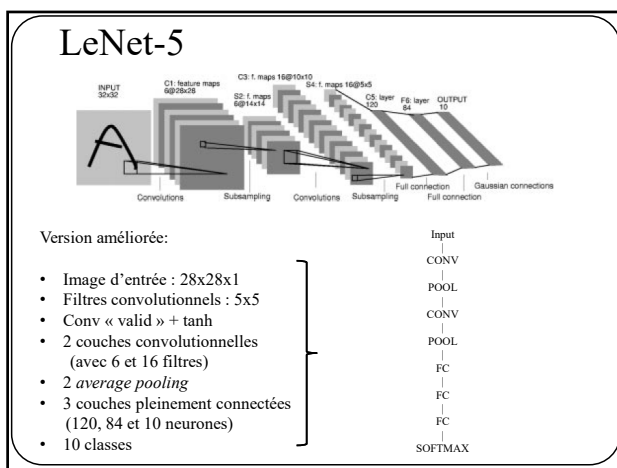


87

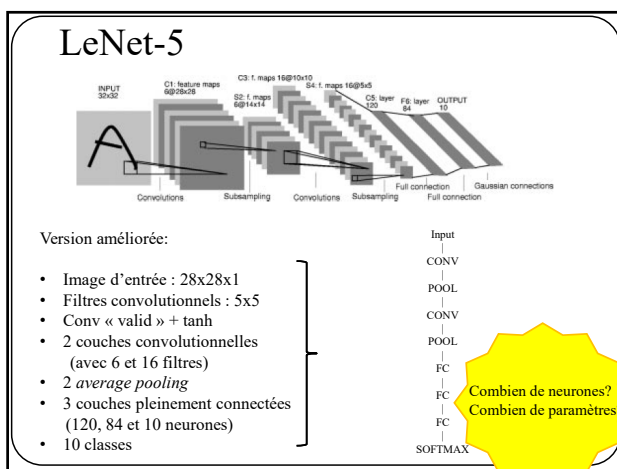
29



88



89



90

## Classification d'images

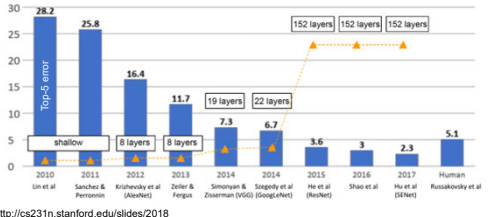
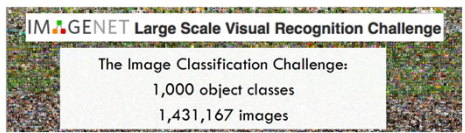


Image: <http://cs231n.stanford.edu/slides/2018>

91

## Classification d'images

AlexNet [Krizhevsky et al. 2012]

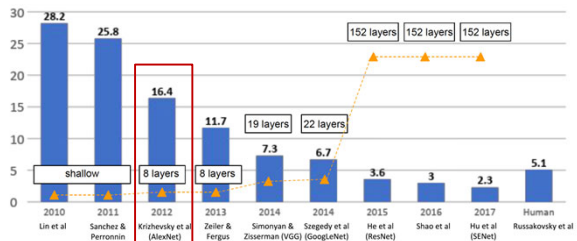
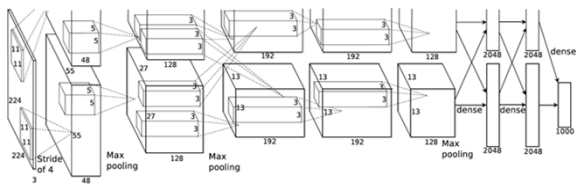


Image: <http://cs231n.stanford.edu/slides/2018>

92

## AlexNet



- Premier CNN à bien performer sur ImageNet (amélioration de 10% par rapport aux autres)
- Utilisation de techniques aujourd'hui fréquemment utilisées: **ReLU**, **data augmentation** and **dropout**
- Utilisation de **GPUs** (2 dans leur cas)
- Point de départ de la **révolution du “deep learning”** en vision par ordinateur

Image: Krizhevsky et al. "Imagenet classification with deep convolutional neural networks," NIPS 2012.

93

## AlexNet

Architecture:

CONV1  
MAX POOL1

NORM1

CONV2  
MAX POOL2

NORM2

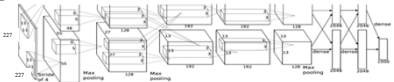
CONV3  
CONV4  
CONV5

Max POOL3

FC6

FC7

FC8



Entrée : image RGB: 227x227x3  
Couche 1 (CONV1): 96 filtres de taille 11x11 avec stride de 4 et conv "valid"

Quelle est la taille des cartes d'activation?

Réponse:  $(227-11)/4+1 = 55$

94

## AlexNet

Architecture:

CONV1  
MAX POOL1

NORM1

CONV2  
MAX POOL2

NORM2

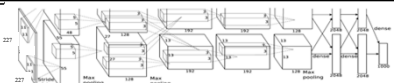
CONV3  
CONV4  
CONV5

Max POOL3

FC6

FC7

FC8



Entrée : image RGB: 227x227x3  
Couche 1 (CONV1): 96 filtres de taille 11x11 avec stride de 4 et conv "valid"

Cartes d'activation : 96 x 55 x 55

Q: Quel est le nombre de paramètres?

95

## AlexNet

Architecture:

CONV1  
MAX POOL1

NORM1

CONV2  
MAX POOL2

NORM2

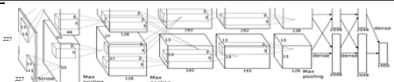
CONV3  
CONV4  
CONV5

Max POOL3

FC6

FC7

FC8



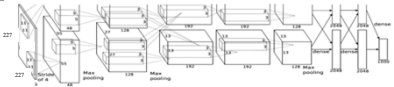
Entrée : image RGB: 227x227x3  
Couche 1 (CONV1): 96 filtres de taille 11x11 avec stride de 4 et conv "valid"

Cartes d'activation : 96 x 55 x 55

Paramètres :  $11 \times 11 \times 96 \times 3 = 34,848$

96

## AlexNet



ENTRÉE : 227x227x3

CONV1: 96 x 55 x 55

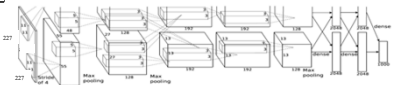
Couche 2 MaxPool : 3x3 stride stride 2

Quelle est la taille des cartes d'activation?

Réponse:  $(55-3)/2+1 = 27$

97

## AlexNet



ENTRÉE : 227x227x3

CONV1: 96 x 55 x 55

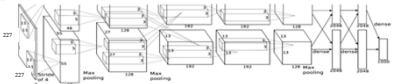
Couche 2 MaxPool : 3x3 stride stride 2  
27 x 27 x 96

Combien y a-t-il de paramètres?

Réponse: 0!

98

## AlexNet



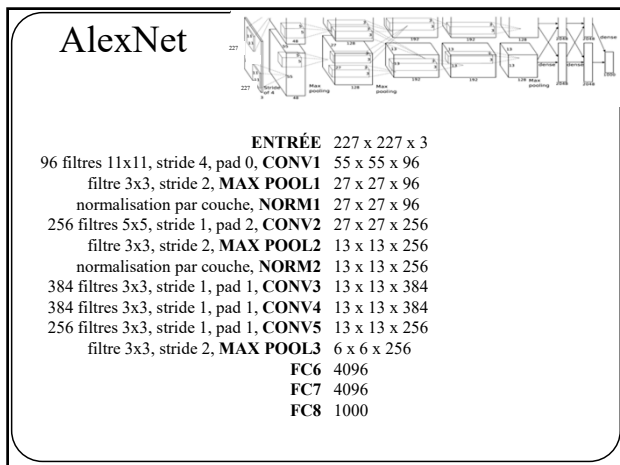
ENTRÉE : 227x227x3

CONV1: 55 x 55 x 96

MAX POOL1: 27 x 27 x 96

...

99



100

---

---

---

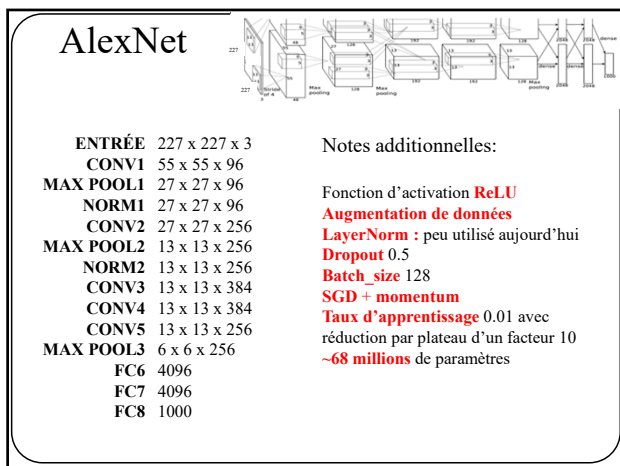
---

---

---

---

---



101

---

---

---

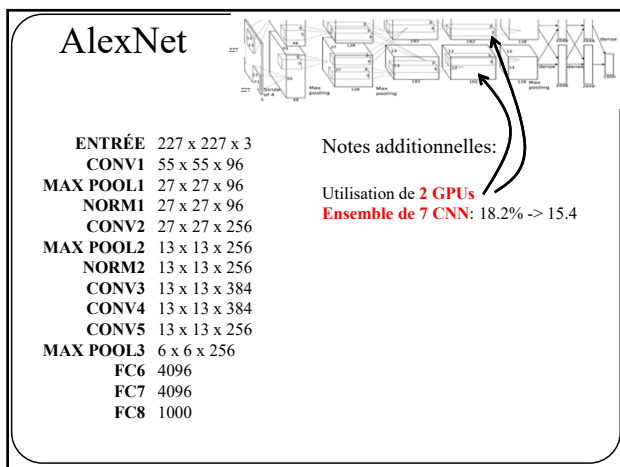
---

---

---

---

---



102

---

---

---

---

---

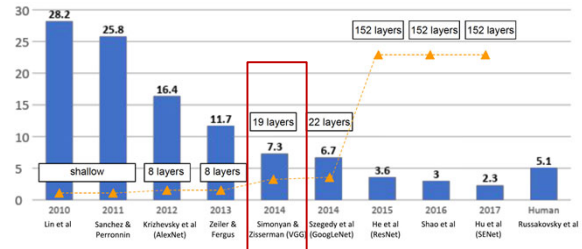
---

---

---

## Classification d'images

VGGNet [Simonyan and Zisserman, 2014]



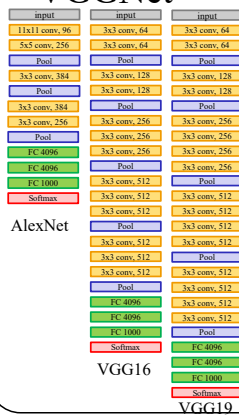
Karen Simonyan, Andrew Zisserman "Very Deep Convolutional Networks for Large-Scale Image Recognition", ICLR 2015

Image: <http://cs231n.stanford.edu/slides/2018>

103

103

## VGGNet



Ce qui caractérise VGGNet par rapport à ses prédecesseurs :

- Uniquement des **filtres 3x3, stride 1, pad 1**
- **Plus profond**

AlexNet : 8 couches

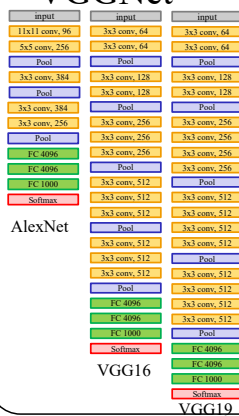
VGGNet : 16 ou 19 couches

7.3% d'erreur contre 11.7% pour ZFNet

104

104

## VGGNet



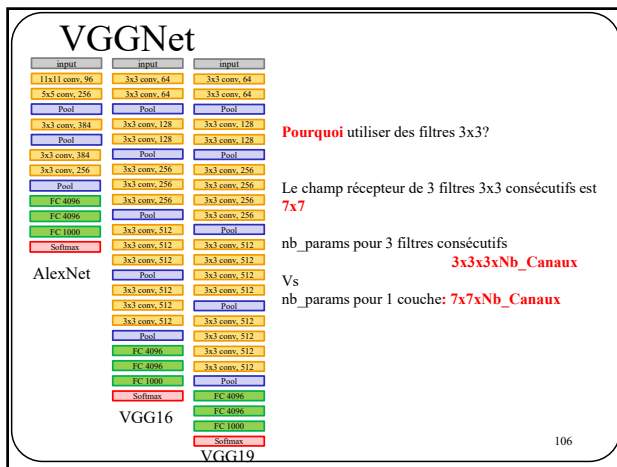
Pourquoi utiliser des filtres 3x3?

**Indice1 :** quel est le champ récepteur (*receptive field*) d'une série de 3 couches 3x3?

**Indice2 :** combien de paramètres pour ces 3 couches?

105

105



Pourquoi utiliser des filtres 3x3?

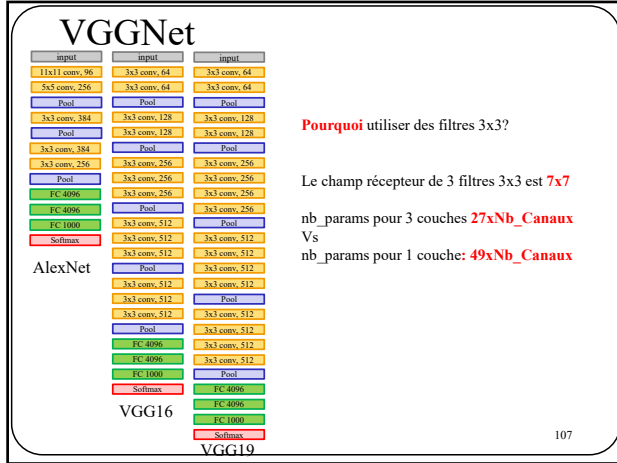
Le champ récepteur de 3 filtres 3x3 consécutifs est **7x7**

nb\_params pour 3 filtres consécutifs  
**3x3x3Nb\_Canaux**

Vs

nb\_params pour 1 couche: **7x7Nb\_Canaux**

106

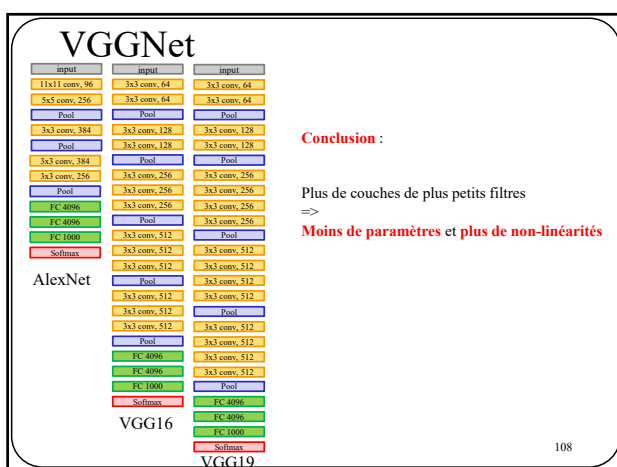


Pourquoi utiliser des filtres 3x3?

Le champ récepteur de 3 filtres 3x3 est **7x7**

nb\_params pour 3 couches **27xNb\_Canaux**  
Vs  
nb\_params pour 1 couche: **49xNb\_Canaux**

107



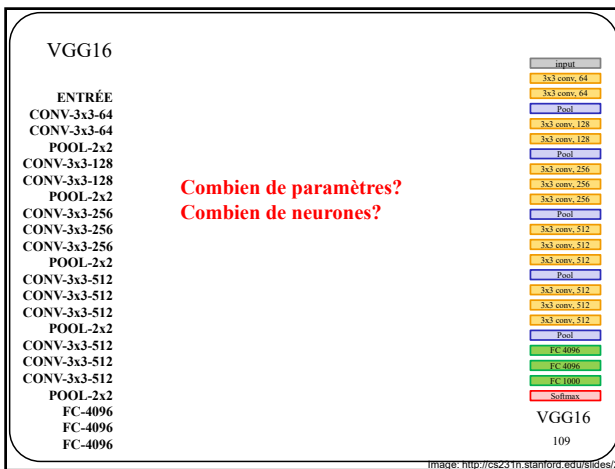
Conclusion :

Plus de couches de plus petits filtres

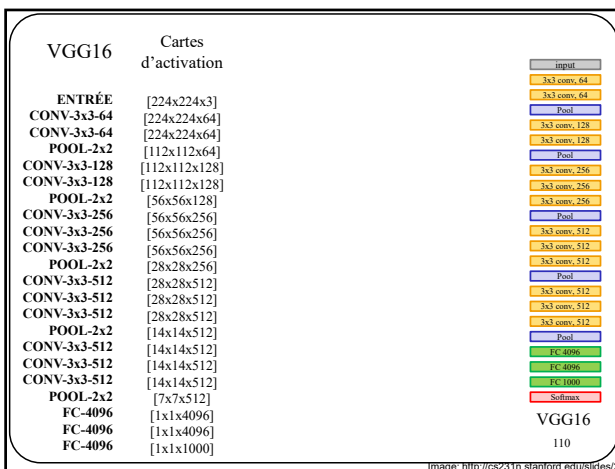
=>

**Moins de paramètres et plus de non-linéarités**

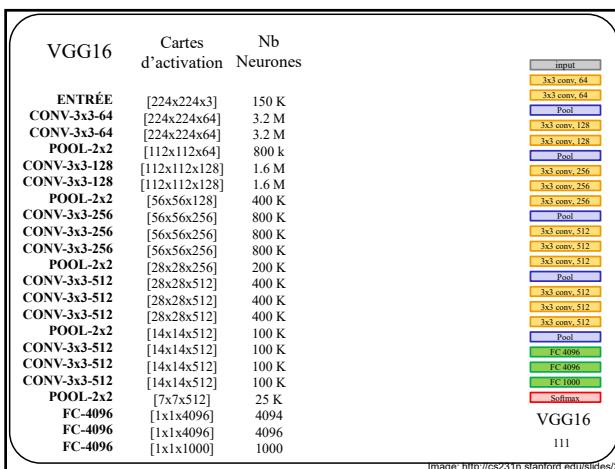
108



109



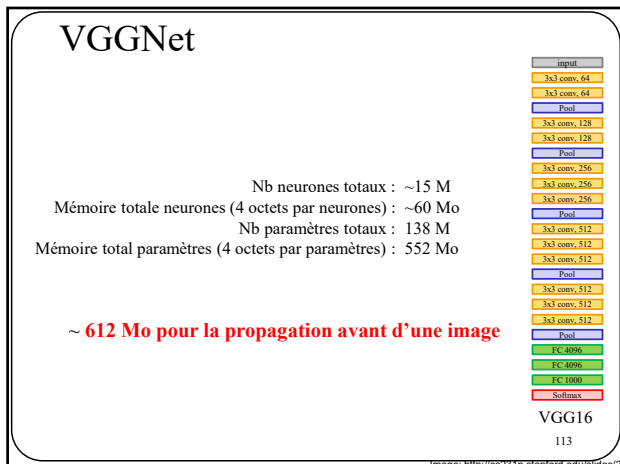
110



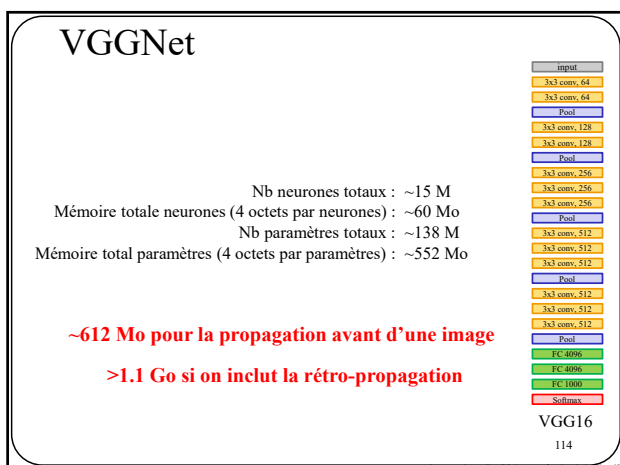
111

VGG16	Cartes d'activation	Nb Neurones	Nb Paramètres	
<b>ENTRÉE</b>	[224x224x3]	150 K	0	input
CONV-3x3-64	[224x224x64]	3.2 M	$(3*3*3)*64 = 1,728$	3x3 conv, 64
CONV-3x3-64	[224x224x64]	3.2 M	$(3*3*64)*64 = 36,864$	3x3 conv, 64
POOL-2x2	[112x112x64]	800 k	0	Pool
CONV-3x3-128	[112x112x128]	1.6 M	$(3*3*64)*128 = 73,728$	3x3 conv, 128
CONV-3x3-128	[112x112x128]	1.6 M	$(3*3*128)*128 = 147,456$	3x3 conv, 128
POOL-2x2	[56x56x128]	400 K	0	Pool
CONV-3x3-256	[56x56x256]	800 K	$(3*3*128)*256 = 294,912$	3x3 conv, 256
CONV-3x3-256	[56x56x256]	800 K	$(3*3*256)*256 = 589,824$	3x3 conv, 256
CONV-3x3-256	[56x56x256]	800 K	$(3*3*256)*256 = 589,824$	3x3 conv, 256
POOL-2x2	[28x28x256]	200 K	0	Pool
CONV-3x3-512	[28x28x512]	400 K	$(3*3*256)*512 = 1,179,648$	3x3 conv, 512
CONV-3x3-512	[28x28x512]	400 K	$(3*3*512)*512 = 2,359,296$	3x3 conv, 512
CONV-3x3-512	[28x28x512]	400 K	$(3*3*512)*512 = 2,359,296$	3x3 conv, 512
POOL-2x2	[14x14x512]	100 K	0	Pool
CONV-3x3-512	[14x14x512]	100 K	$(3*3*512)*512 = 2,359,296$	3x3 conv, 512
CONV-3x3-512	[14x14x512]	100 K	$(3*3*512)*512 = 2,359,296$	3x3 conv, 512
POOL-2x2	[7x7x512]	25 K	0	FC 4096
FC-4096	[1x1x4096]	4094	$7*7*512*4096 = 102,760,448$	FC 4096
FC-4096	[1x1x4096]	4096	$4096*4096 = 16,777,216$	FC 4096
FC-4096	[1x1x1000]	1000	$4096*1000 = 4,096,000$	FC 1000
			112	Softmax

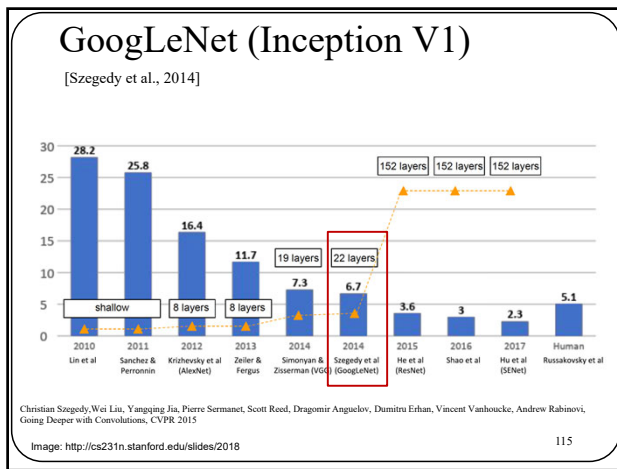
112



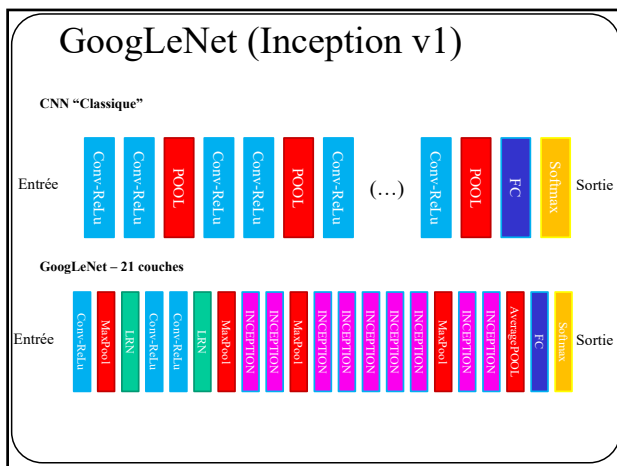
113



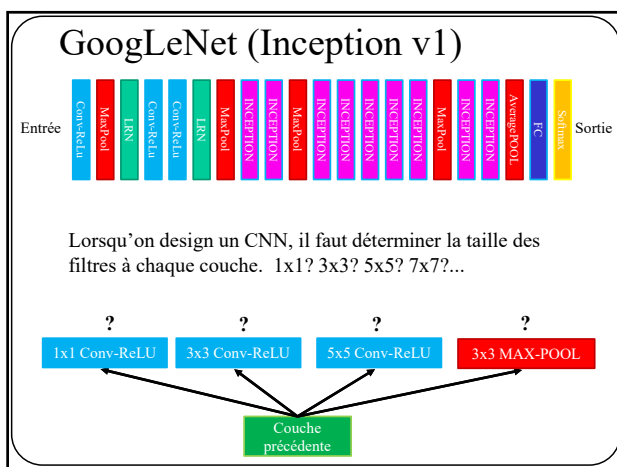
114



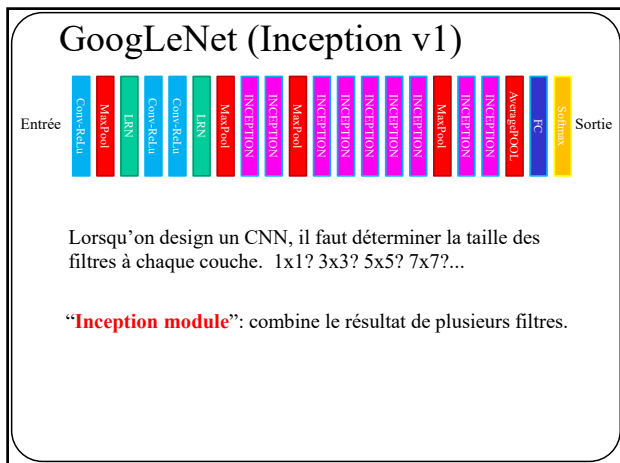
115



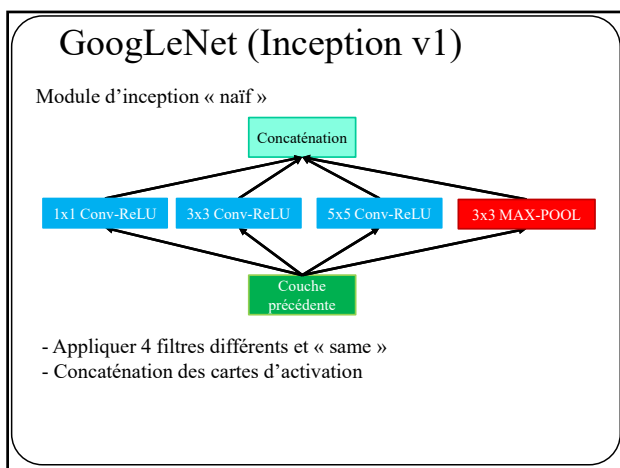
116



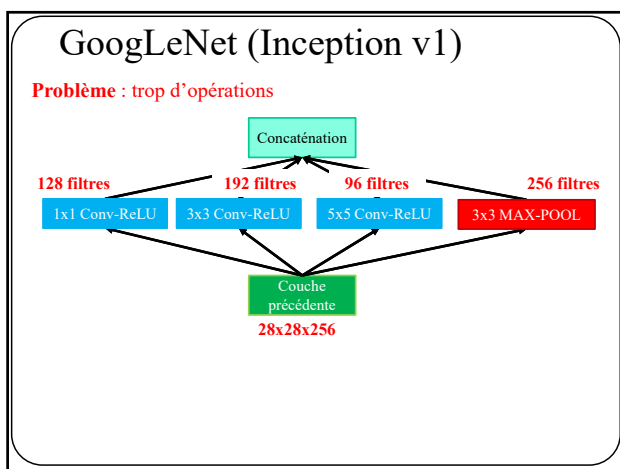
117



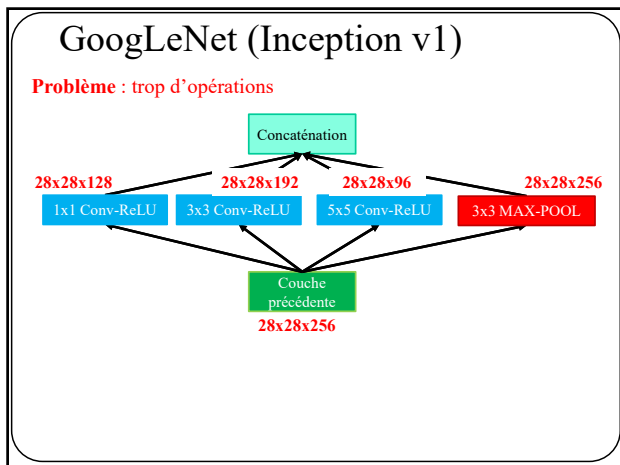
118



119



120



121

---



---



---



---



---



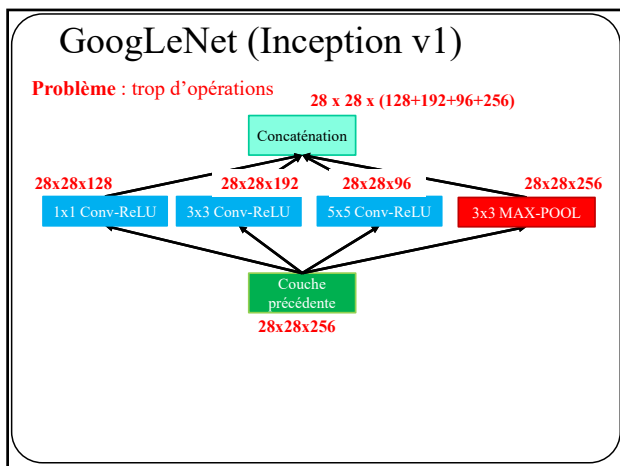
---



---



---



122

---



---



---



---



---



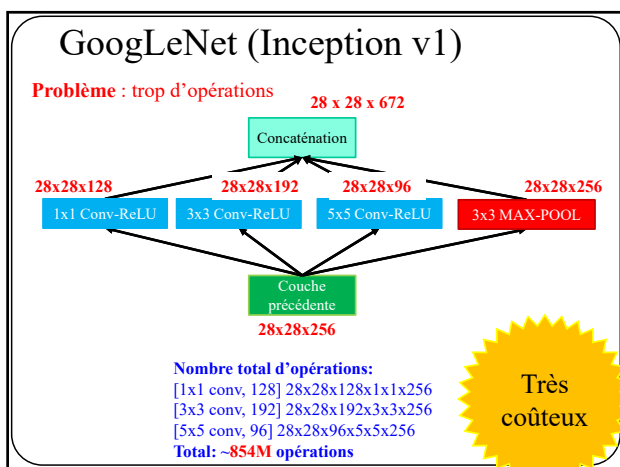
---



---



---



123

---



---



---



---



---



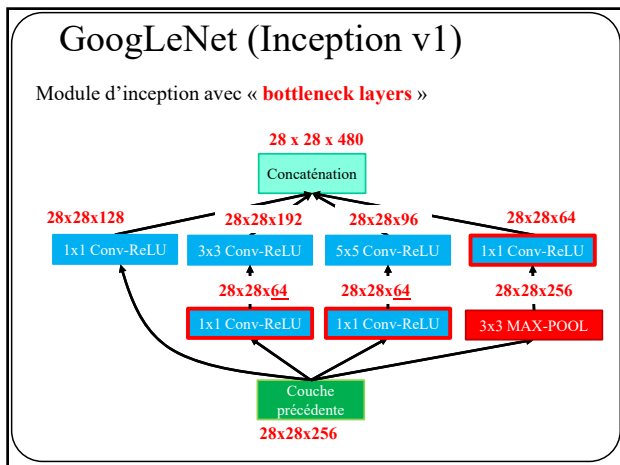
---



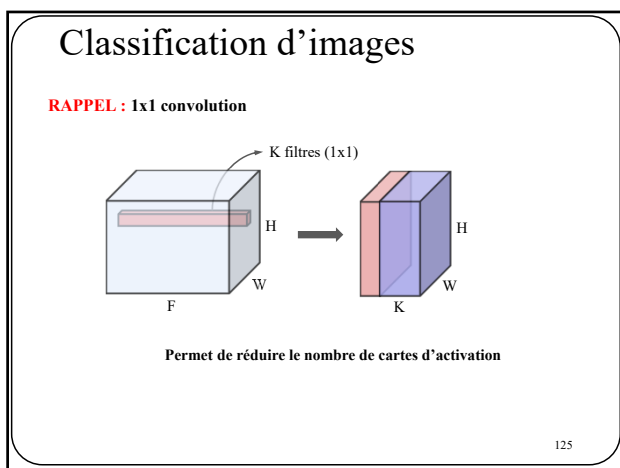
---



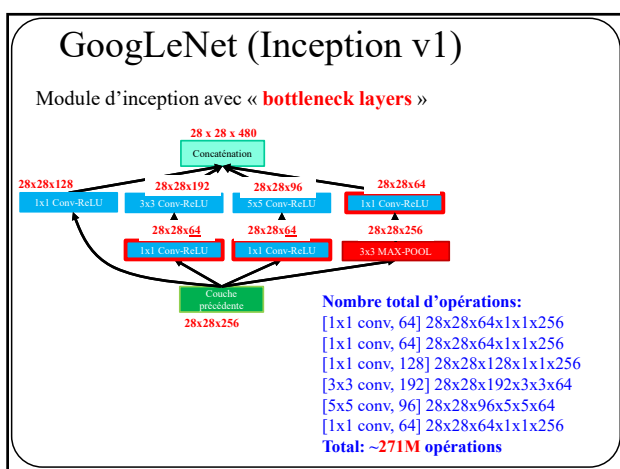
---



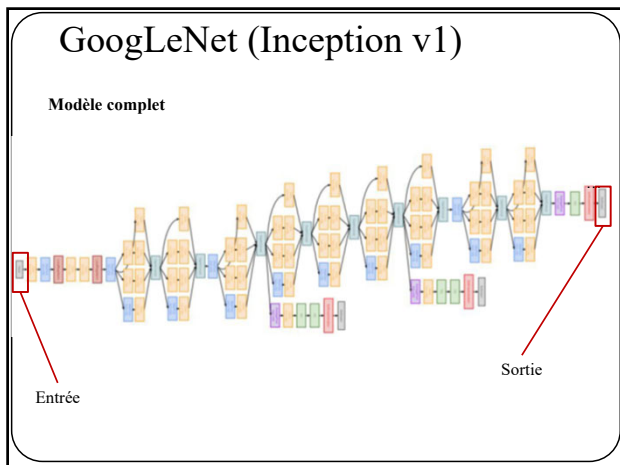
124



125



126



127

---

---

---

---

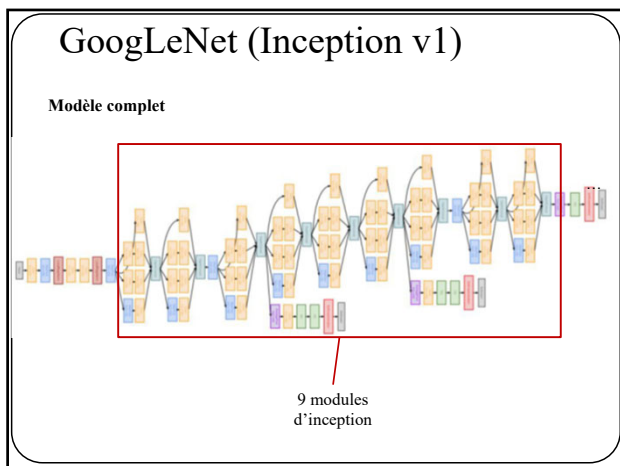
---

---

---

---

---



128

---

---

---

---

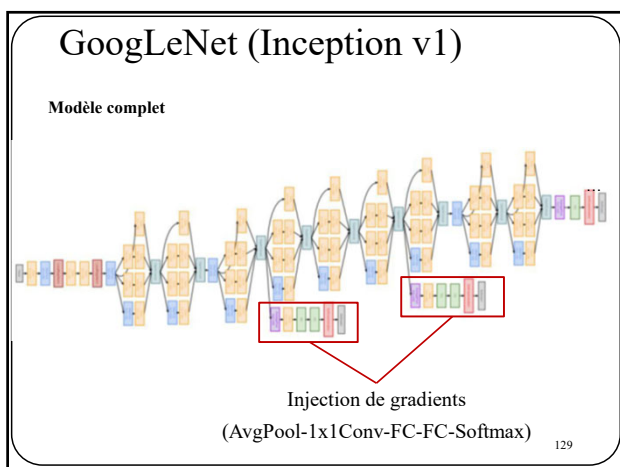
---

---

---

---

---



129

---

---

---

---

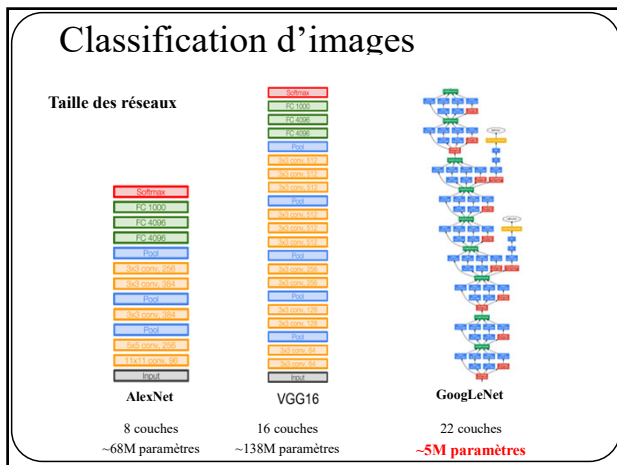
---

---

---

---

---



130

---



---



---



---



---



---



---



---



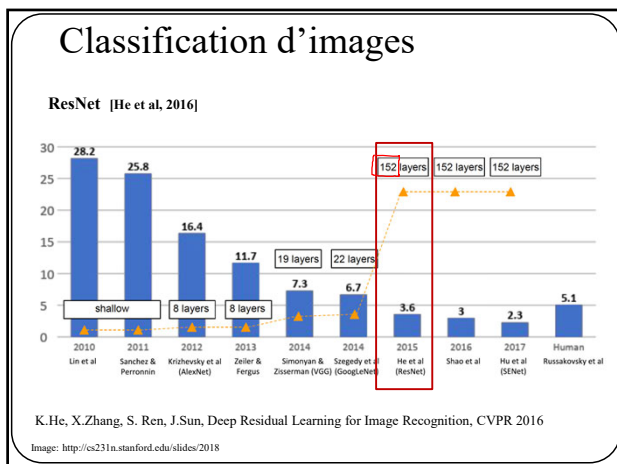
---



---



---



131

---



---



---



---



---



---



---



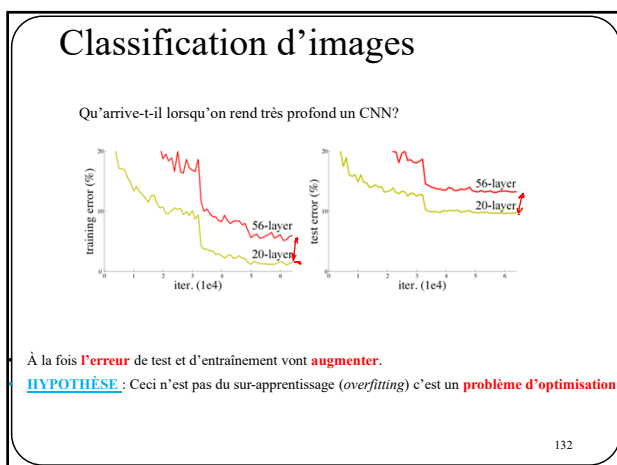
---



---



---



132

---



---



---



---



---



---



---



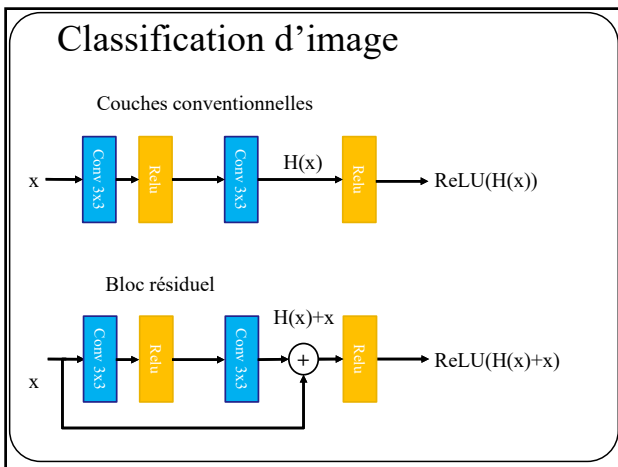
---



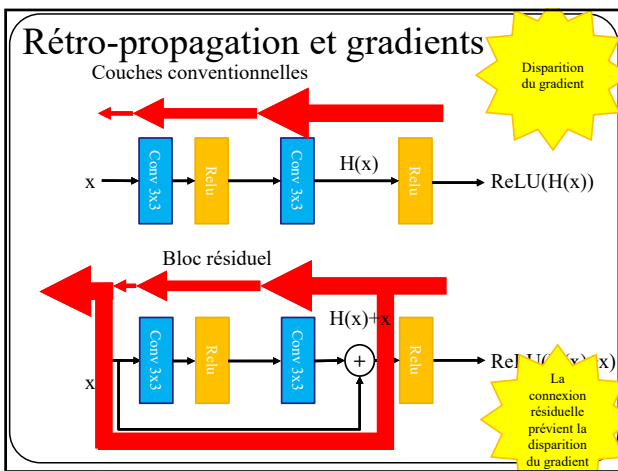
---



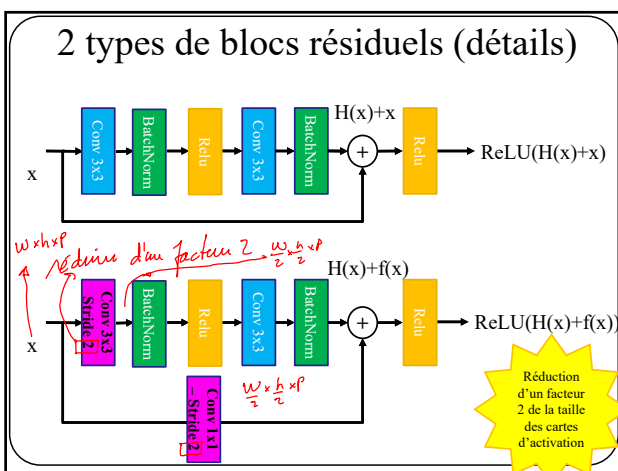
---



133

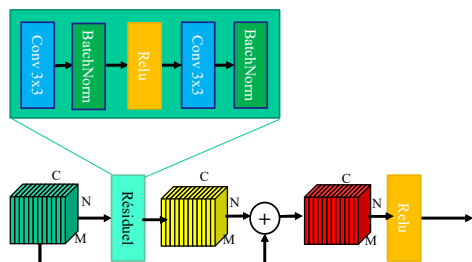


134



135

## Autre illustration



136

136

## Exemple de code simple

```
def forward(self, x):
    identity = x.clone()

    x = self.conv1(x)
    x = self.bn1(x)
    x = self.relu(x)
    x = self.conv2(x)
    x = self.bn2(x)

    x += identity
    x = self.relu(x)

    return x
```

137

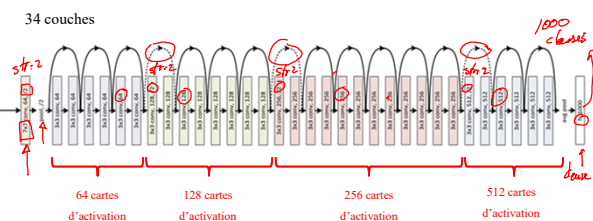
137

## ResNet - 34

ResNet [He et al, 2016]

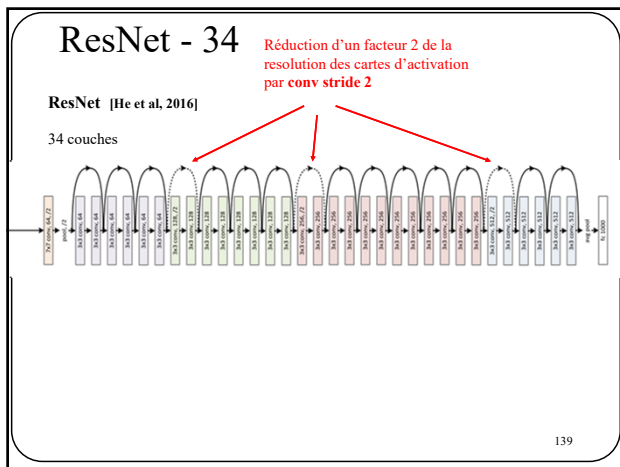
*ImageNet  
1.4M images  
1000 classes.*

34 couches

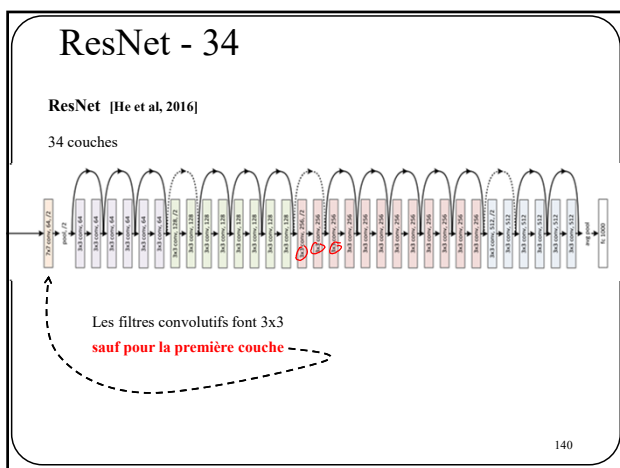


138

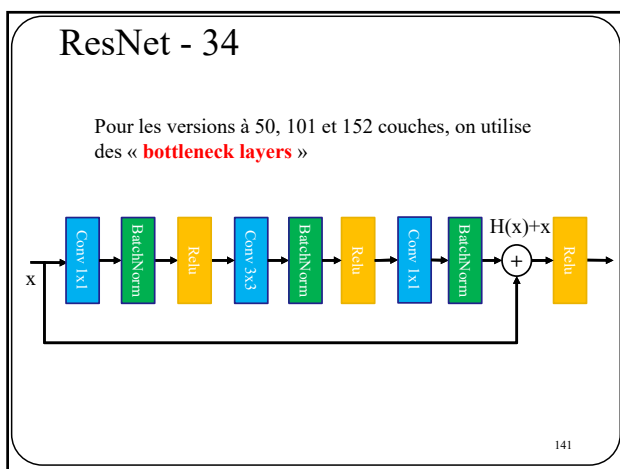
138



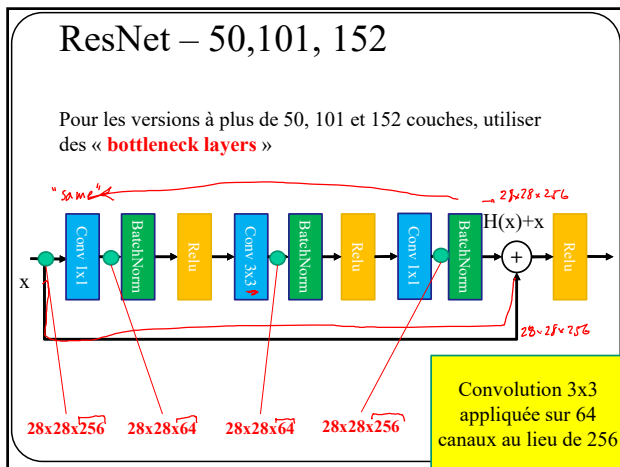
139



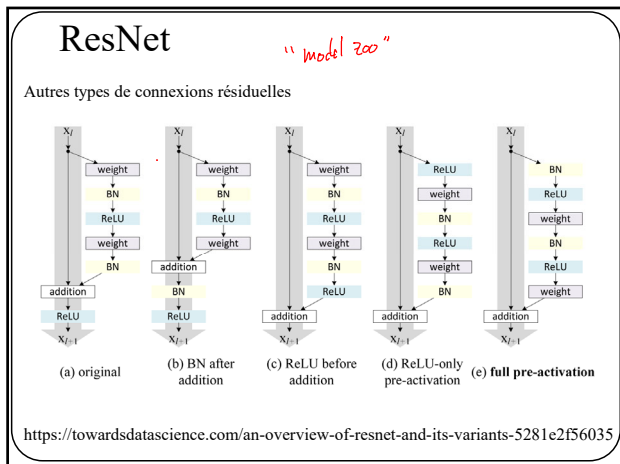
140



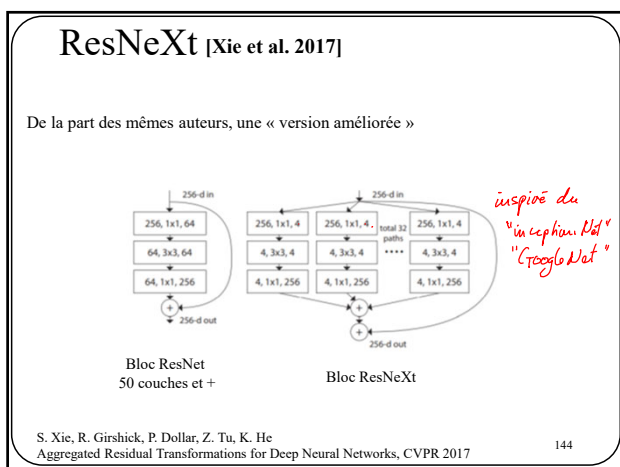
141



142



143



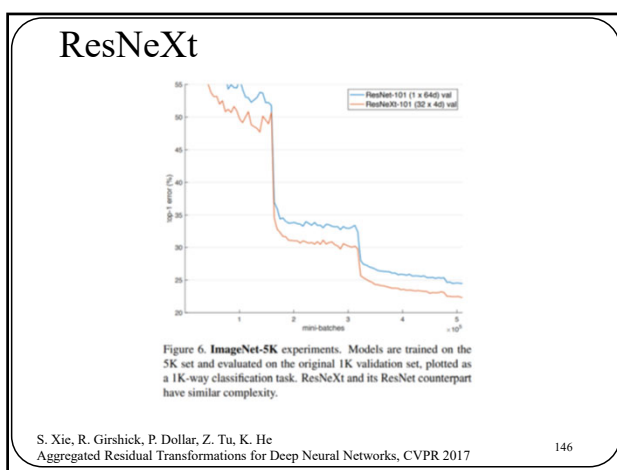
144

## ResNeXt

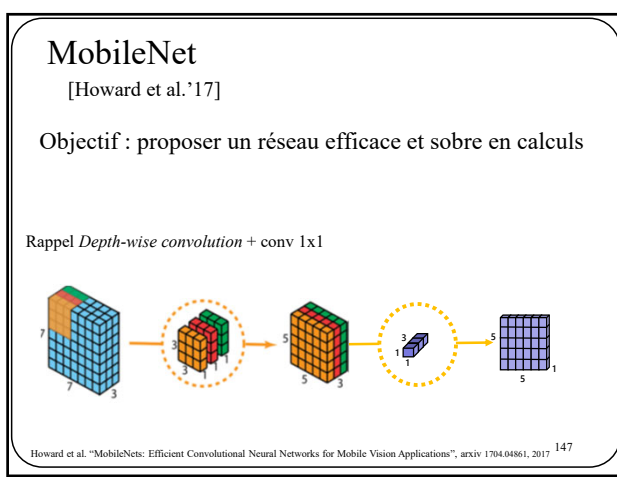
stage	output	ResNet-50	ResNeXt-50 (32x4d)
conv1	112x112	7x7, 64, stride 2	7x7, 64, stride 2
		3x3 max pool, stride 2	3x3 max pool, stride 2
conv2	56x56	1x1, 64 3x3, 64 $\times 3$ 1x1, 256	1x1, 128 3x3, 128, C=32 $\times 3$ 1x1, 256
conv3	28x28	1x1, 128 3x3, 128 $\times 4$ 1x1, 512	1x1, 256 3x3, 256, C=32 $\times 4$ 1x1, 512
conv4	14x14	1x1, 256 3x3, 256 $\times 6$ 1x1, 1024	1x1, 512 3x3, 512, C=32 $\times 6$ 1x1, 1024
conv5	7x7	1x1, 512 3x3, 512 $\times 3$ 1x1, 2048	1x1, 1024 3x3, 1024, C=32 $\times 3$ 1x1, 2048
	1x1	global average pool 1000-d fc, softmax	global average pool 1000-d fc, softmax
# params.		$25.5 \times 10^6$	$25.0 \times 10^6$
FLOPs		$4.1 \times 10^9$	$4.2 \times 10^9$

S. Xie, R. Girshick, P. Dollar, Z. Tu, K. He  
Aggregated Residual Transformations for Deep Neural Networks, CVPR 2017

145



146



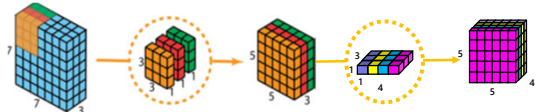
147

## MobileNet

[Howard et al.'17]

Objectif : proposer un réseau efficace et sobre en calculs

Rappel *Depth-wise convolution* + N filtres conv 1x1

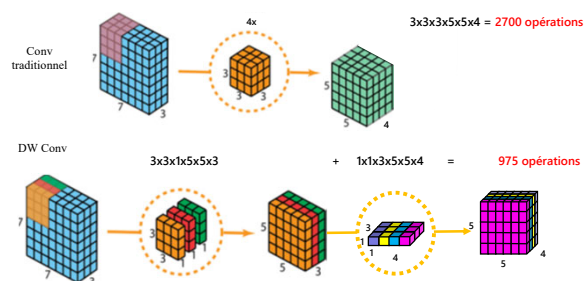


Howard et al. "MobileNets: Efficient Convolutional Neural Networks for Mobile Vision Applications", arxiv 1704.04861, 2017 148

148

## MobileNet

[Howard et al.'17]



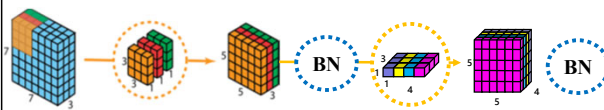
Howard et al. "MobileNets: Efficient Convolutional Neural Networks for Mobile Vision Applications", arxiv 1704.04861, 2017 149

149

## MobileNet

[Howard et al.'17]

DW Conv de MobileNet inclut deux **batch norm**



Howard et al. "MobileNets: Efficient Convolutional Neural Networks for Mobile Vision Applications", arxiv 1704.04861, 2017 150

150

## MobileNet

[Howard et al.'17]

Tirés de l'article

**Conv dw**

(autre illustration de la page précédente)

Type / Stride	Filter Shape	Input Size
Conv / s2	3 × 3 × 3 × 32	224 × 224 × 3
Conv dw / s1	3 × 3 × 32 dw	112 × 112 × 32
Conv / s1	1 × 1 × 32 × 64	112 × 112 × 32
Conv dw / s2	3 × 3 × 64 dw	112 × 112 × 64
Conv / s1	1 × 1 × 64 × 128	56 × 56 × 64
Conv dw / s1	3 × 3 × 128 dw	56 × 56 × 128
Conv / s1	1 × 1 × 128 × 128	56 × 56 × 128
Conv dw / s2	3 × 3 × 128 dw	56 × 56 × 128
Conv / s1	1 × 1 × 128 × 256	28 × 28 × 128
Conv dw / s1	3 × 3 × 256 dw	28 × 28 × 256
Conv / s1	1 × 1 × 256 × 256	28 × 28 × 256
Conv dw / s2	3 × 3 × 256 dw	28 × 28 × 256
Conv / s1	1 × 1 × 256 × 512	14 × 14 × 256
5× Conv dw / s1	3 × 3 × 512 dw	14 × 14 × 512
Conv / s1	1 × 1 × 512 × 512	14 × 14 × 512
Conv dw / s2	3 × 3 × 512 dw	14 × 14 × 512
Conv / s1	1 × 1 × 512 × 1024	7 × 7 × 512
Conv dw / s2	3 × 3 × 1024 dw	7 × 7 × 1024
Conv / s1	1 × 1 × 1024 × 1024	7 × 7 × 1024
Avg Pool / s1	Pool 7 × 7	7 × 7 × 1024
FC / s1	1024 × 1000	1 × 1 × 1024
Softmax / s1	Classifier	1 × 1 × 1000

Howard et al. "MobileNets: Efficient Convolutional Neural Networks for Mobile Vision Applications", arxiv 1704.04861, 2017 151

151

## MobileNet

[Howard et al.'17]

Tiré de l'article

**Meilleurs résultats**  
**Moins de calculs**  
**Moins de paramètres.**

Model	ImageNet Accuracy	Million Mult-Adds	Million Parameters
1.0 MobileNet-224	70.6%	569	4.2
GoogleNet	69.8%	1550	6.8
VGG 16	71.5%	15300	138

Model	ImageNet Accuracy	Million Mult-Adds	Million Parameters
0.50 MobileNet-160	60.2%	76	1.32
SqueezeNet	57.5%	1700	1.25
AlexNet	57.2%	720	60

Howard et al. "MobileNets: Efficient Convolutional Neural Networks for Mobile Vision Applications", arxiv 1704.04861, 2017 152

152

## XceptionNet

[Chollet'17]

Amélioration de ResNet et GoogleNet, similaire à MobileNet. Ici aussi on utilise des « *Depth-wise separable convolutions* »

Rappel

F.Chollet, Xception: Deep Learning with Depthwise Separable Convolutions, CVPR 2017 153

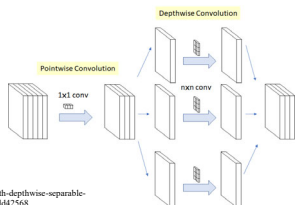
153

## XceptionNet

[Chollet'17]

Amélioration de ResNet et GoogleNet, similaire à MobileNet. Ici aussi on utilise des « *Depth-wise separable convolutions* »

Autre illustration



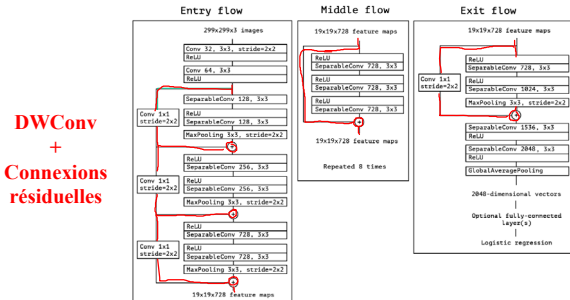
<https://towardsdatascience.com/review-xception-with-depthwise-separable-convolution-better-than-inception-v3-image-dc967dd42568>

F.Chollet, Xception: Deep Learning with Depthwise Separable Convolutions, CVPR 2017 154

154

## XceptionNet

Image tirée de l'article



F.Chollet, Xception: Deep Learning with Depthwise Separable Convolutions, CVPR 2017 155

155

## XceptionNet

Image tirée de l'article

Table 1. Classification performance comparison on ImageNet (single crop, single model). VGG-16 and ResNet-152 numbers are only included as a reminder. The version of Inception V3 being benchmarked does not include the auxiliary tower.

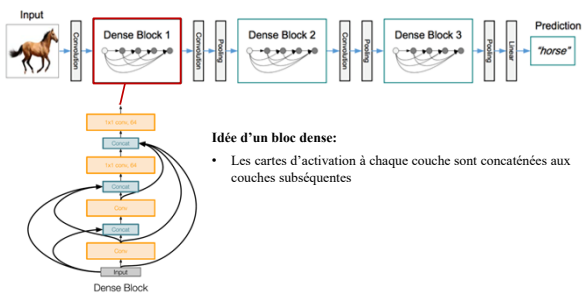
	Top-1 accuracy	Top-5 accuracy
<b>VGG-16</b>	0.715	0.901
<b>ResNet-152</b>	0.770	0.933
<b>Inception V3</b>	0.782	0.941
<b>Xception</b>	<b>0.790</b>	<b>0.945</b>

F.Chollet, Xception: Deep Learning with Depthwise Separable Convolutions, CVPR 2017 156

156

## DenseNet

[Huang et al, 2017]



159

---

---

---

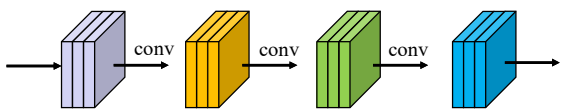
---

---

---

159

Bloc de 4 couches convolutives ordinaires avec 3 filtres chaque (fonctions d'activation omises pour alléger la figure)



160

---

---

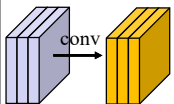
---

---

---

---

Bloc de 4 couches convolutives **denses** avec 3 filtres chaque (fonctions d'activation omises pour alléger la figure)



161

---

---

---

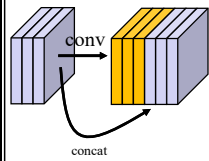
---

---

---

161

Bloc de 4 couches convolutives **denses** avec 3 filtres chaque  
(fonctions d'activation omises pour alléger la figure)



162

---

---

---

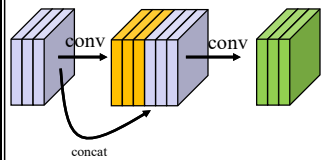
---

---

---

162

Bloc de 4 couches convolutives **denses** avec 3 filtres chaque  
(fonctions d'activation omises pour alléger la figure)



163

---

---

---

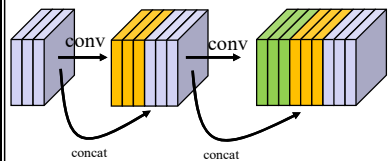
---

---

---

163

Bloc de 4 couches convolutives **denses** avec 3 filtres chaque  
(fonctions d'activation omises pour alléger la figure)



164

---

---

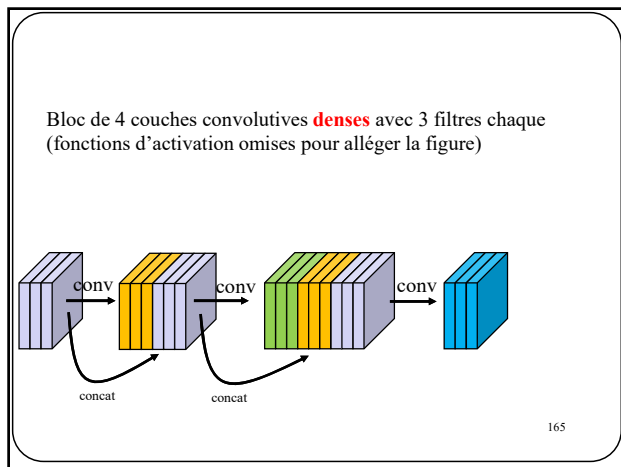
---

---

---

---

164



---

---

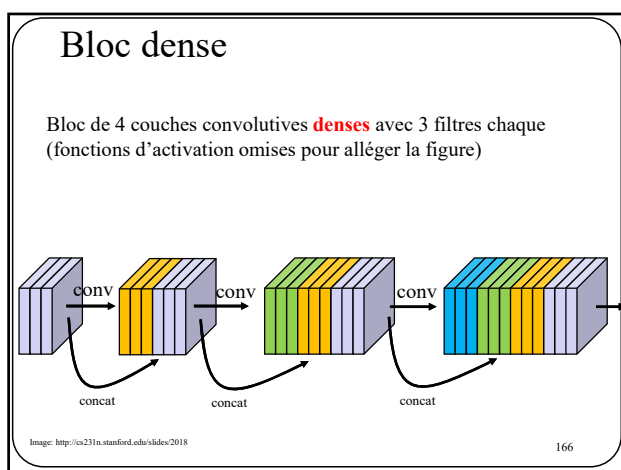
---

---

---

---

165



---

---

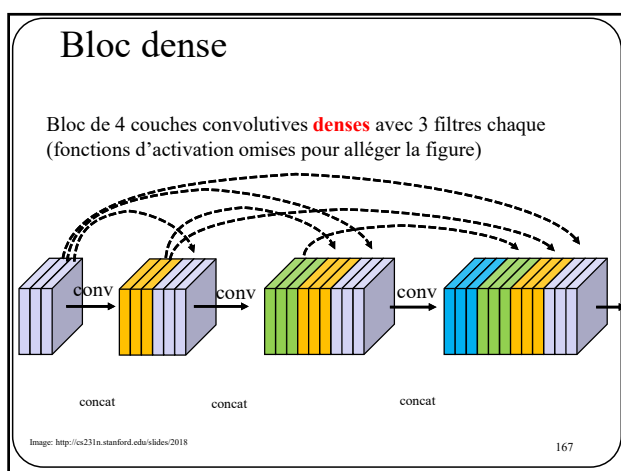
---

---

---

---

166



---

---

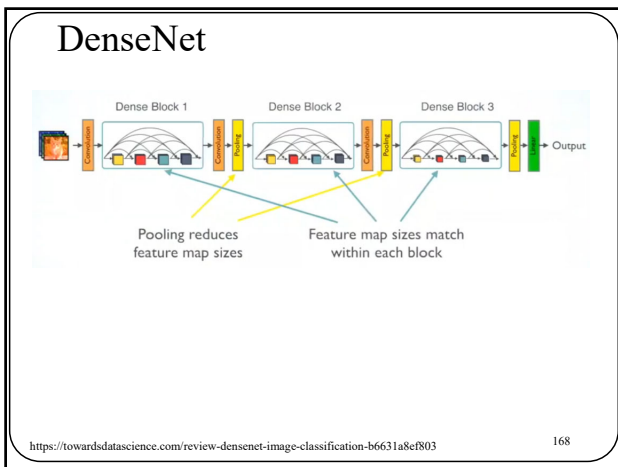
---

---

---

---

167




---



---



---



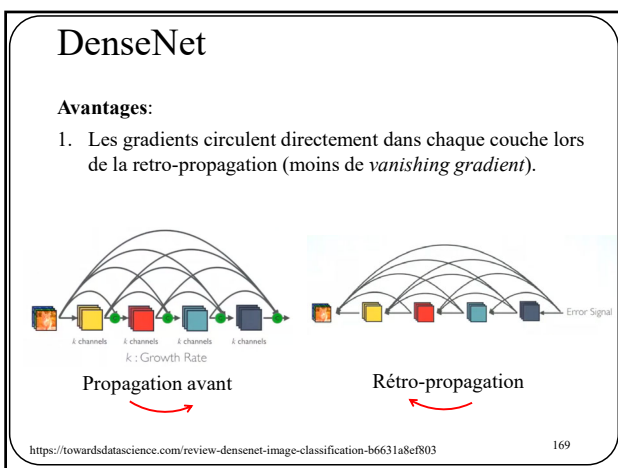
---



---



---




---



---



---



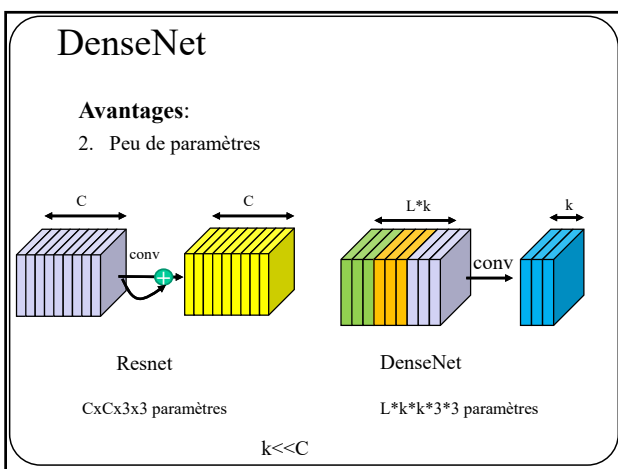
---



---



---




---



---



---



---



---

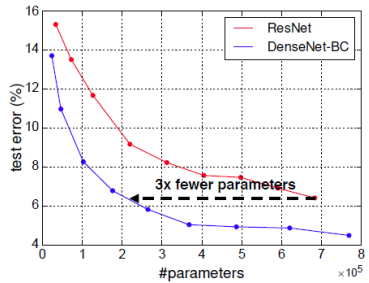


---

## DenseNet

### Avantages:

2. Peu de paramètres



171

## DenseNet

### Avantages:

3. Le classificateur utilise des caractéristiques de bas et de haut niveau

#### Standard Connectivity:



Avec un CNN conventionnel, le classificateur base sa prédiction sur les caractéristiques de la dernière couche, c-à-d des **caractéristiques de haut niveau**

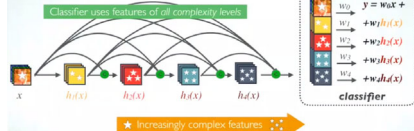
172

## DenseNet

### Avantages:

3. Le classificateur utilise des caractéristiques de bas et de haut niveau

#### Dense Connectivity:



Avec DenseNet, le classificateur utilise des **caractéristiques de bas et de haut niveau**

173

## Squeeze-and-Excite Net (SENet)

[Hu et al. 2018]

Idée : améliorer les **blocs résiduels** en permettant au réseau de mettre **plus d'importance** sur les **cartes d'activation** les plus informatives.

**Bloc résiduel**

J. Hu, L. Shen, G. Sun Squeeze-and-Excitation Networks, CVPR 2018

174

174

## Squeeze-and-Excite Net (SENet)

[Hu et al. 2018]

Idée : améliorer les **blocs résiduels** en permettant au réseau de mettre **plus d'importance** sur les **cartes d'activation** les plus informatives.

**Bloc résiduel**

Par simplicité on appelle cette partie le « résiduel »

J. Hu, L. Shen, G. Sun Squeeze-and-Excitation Networks, CVPR 2018

175

## Squeeze-and-Excite Net (SENet)

[Hu et al. 2018]

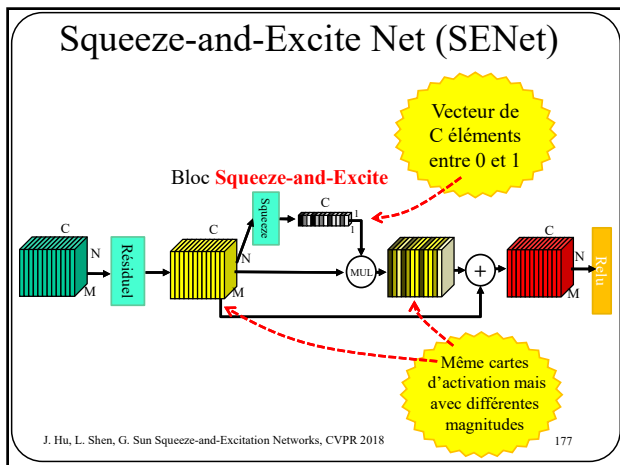
Idée : améliorer les **blocs résiduels** en permettant au réseau de mettre **plus d'importance** sur les **cartes d'activation** les plus informatives.

**Bloc résiduel**  
(avec illustration des cartes d'activation)

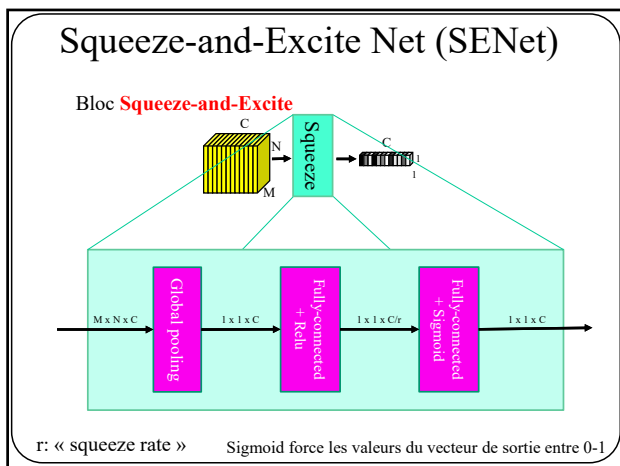
Avant et après le résiduel : cartes d'activation de taille  $N \times M \times C$   
Après l'addition : cartes d'activation de taille  $N \times M \times C$

176

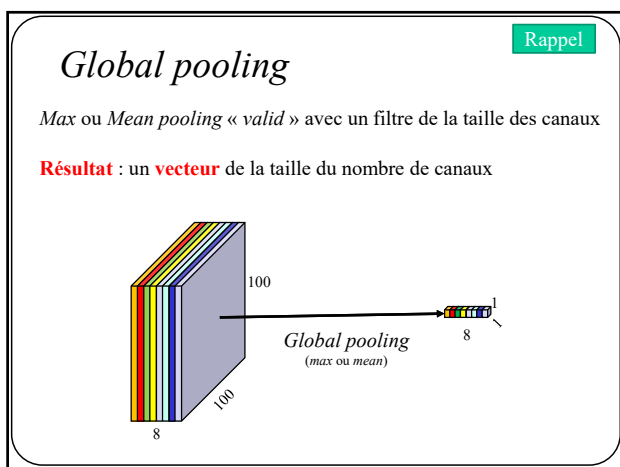
176



177



178

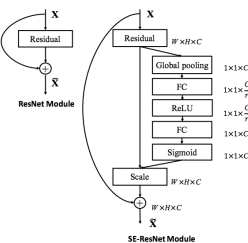


179

## Squeeze-and-Excite Net (SENet)

[Hu et al. 2018]

Autre illustration



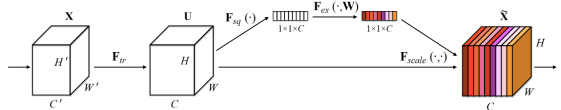
J. Hu, L. Shen, G. Sun Squeeze-and-Excitation Networks, CVPR 2018

180

## Squeeze-and-Excite Net (SENet)

[Hu et al. 2018]

Autre illustration

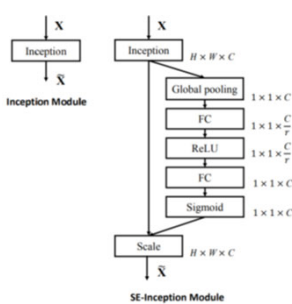


J. Hu, L. Shen, G. Sun Squeeze-and-Excitation Networks, CVPR 2018

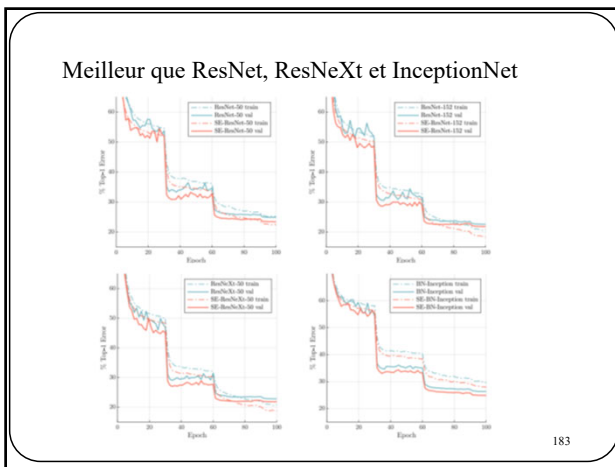
181

## Squeeze-and-Excite Net (SENet)

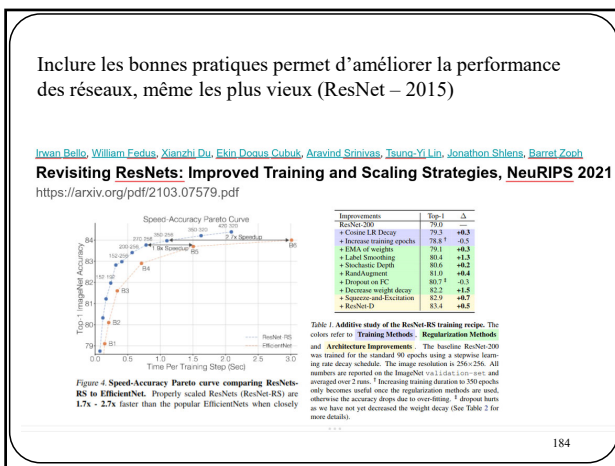
Fonctionne également avec les **modules d'inception**.



182



183



184

Méthodes d'entraînement

Méthodes de régularisation

Améliorations de l'architecture de base

Improvements	Top-1	$\Delta$
ResNet-200	79.0	—
+ Cosine LR Decay	79.3	+0.3
+ Increase training epochs	78.8 <sup>†</sup>	-0.5
+ EMA of weights	79.1	+0.5
+ Label Smoothing	80.4	+1.3
+ Stochastic Depth	80.6	+0.2
+ RandAugment	81.0	+0.4
+ Dropout on FC	80.7 <sup>‡</sup>	-0.3
+ Decrease weight decay	82.2	+1.5
+ Squeeze-and-Excitation	82.4	+0.2
+ ResNet-D	83.4	+0.5

Table 1: Additive study of the ResNet-RS training recipe. The colors refer to **Training Methods**, **Regularization Methods** and **Architecture Improvements**. The baseline ResNet-200 was trained for the standard 90 epochs using a stepwise learning rate decay schedule. The image resolution is 256×256. All numbers are reported on the ImageNet validation set and averaged over 2 runs. <sup>†</sup> Increasing training duration to 350 epochs only becomes useful once the regularization methods are used, otherwise the accuracy drops due to over-fitting. <sup>‡</sup> dropout hurts as we have not yet decreased the weight decay (See Table 2 for more details).

185

185